

๘-๙-๐๑-๐๕๗



## อภินันทนาการ

### รายงานการวิจัย

ผลของการอบชุบทากรความร้อนต่อความต้านทานการสึกหรอ  
และการกัดกร่อนของเหล็กหล่อโครเมียมสูง 18wt%Cr-3wt%C-6.7wt%Mo

Effect of Heat Treatment on Dry Wear and Corrosion Resistance

of 18wt%Cr-3wt%C-6.7wt%Mo High Chromium Cast Iron

ดร. อัมพร เวียงมูล

สำนักหอสมุด มหาวิทยาลัยแม่ฟ้าฯ	วันลงทะเบียน..... 13 JUL 2011.....
	เลขทะเบียน..... 15638513.....
	เลขเรียกหนังสือ..... ๒ TP 205 .C6 05555 2551

งานวิจัยนี้ได้รับทุนอุดหนุนการวิจัย  
จากงบประมาณรายได้คณะวิทยาศาสตร์ ประจำปีงบประมาณ 2551  
ภาควิชาฟิสิกส์ คณะวิทยาศาสตร์ มหาวิทยาลัยแม่ฟ้าฯ

## บทคัดย่อ

การวิจัยในครั้งนี้มีจุดประสงค์เพื่อศึกษาผลของการอบชุบทางความร้อนต่อความด้านทานการสักหรือและความด้านทานการกัดกร่อนของเหล็กหล่อ 18wt%Cr-2.3wt%C-6.7wt%Mo การอบชุบทางความร้อนประกอบด้วยการอบดีสเตบิไลเซ็นที่อุณหภูมิ  $1000^{\circ}\text{C}$  เป็นเวลา 4 ชั่วโมง และการอบเทมเปอร์ที่อุณหภูมิ  $450^{\circ}\text{C}$  เป็นเวลา 4 ชั่วโมง หลังจากอบดีสเตบิไลเซ็น ความด้านทานการสักหรือแบบแห้งทดสอบด้วยวิธี pin-on-disc ความด้านทานการกัดกร่อนศึกษาด้วยเทคนิคพอยเทเนซิโอไดนามิก เพื่อวิเคราะห์ลักษณะของแอนดิคิโนดิกโพลาไรเซ็น โครงสร้างจุลภาคศึกษาด้วยกล้องจุลทรรศน์แสงและกล้องจุลทรรศน์อิเล็กตรอนแบบส่องกราด

ผลการทดลองพบว่า โครงสร้างจุลภาคหลังการอบดีสเตบิไลเซ็นประกอบด้วยคาร์บไบเดียมเท็กติกและคาร์บไบเดิมทุติยภูมิที่ตอกตะกอนในเมทริกซ์ของมาร์เกนไซด์ที่เปลี่ยนจากอสเทนในที่ในสภาพหล่อรวมกับเฟสออกอสเทนในที่ตอกค้าง ส่งผลให้ความแข็งและความด้านทานการสักหรือเพิ่มขึ้น หลังการอบเทมเปอร์จึงพบว่าเฟสออกอสเทนในที่ตอกค้างมีปริมาณลดลง ทำให้ความด้านทานการสักหรือลดลง นอกจากนี้ยังพบว่าความด้านทานการกัดกร่อนของเหล็กหล่อหลังการอบดีสเตบิไลเซ็น และเทมเปอร์จึงหลังการอบดีสเตบิไลเซ็นดีกว่าในสภาพหล่อ

**คำสำคัญ** เหล็กหล่อโครงเมียมสูง โครงสร้างจุลภาค การสักหรือแบบขัดถู ความด้านทานการกัดกร่อน

## ABSTRACT

In this work, the effects of heat treatments on the dry wear and corrosion resistance of a 18wt%Cr-2.3wt%C-6.7wt%Mo cast iron are study. Heat treatments include destabilisation at 1000 °C for 4 hr, and destabilisation plus tempering at 450 °C for 4 hr, all following by air cooling. Dry wear properties were tested using a pin-on-disc method. Aqueous corrosion resistance was assessed by a potentiodynamic technique via analysis of the anodic polarisation curves. Microstructure was investigated by light microscopy and scanning electron microscopy.

The results show that the microstructure after destabilisation heat treatment consist of eutectic carbides, secondary carbides within a martensite matrix and some retained austenite leading to increased wear resistance. After destabilisation plus tempering heat treatment, wear resistance was decreased due to decreasing of retained austenite. Both heat treated conditions gave some improvement in corrosion resistance compared to the as-cast condition.

Keywords : high chromium iron, microstructure, abrasive wear, corrosion resistance

## กิตติกรรมประกาศ

ผู้วิจัยขอขอบคุณ คณะวิทยาศาสตร์ มหาวิทยาลัยนเรศวร พิชณุโลก ที่ให้ทุนอุดหนุนงานวิจัย  
จากงบประมาณรายได้ปีงบประมาณ 2551 ขอขอบคุณศูนย์เครื่องมือกลาง คณะวิทยาศาสตร์  
มหาวิทยาลัยนเรศวร และศูนย์วิจัยและบริการวุฒิวาระนศาสตร์อิเล็กทรอน คณะวิทยาศาสตร์  
มหาวิทยาลัยเชียงใหม่ ที่ได้ให้ความอนุเคราะห์เครื่องมือเครื่องมือเดรียมชั้นงานและกล้องจุลทรรศน์อิเล็กทรอน  
แบบส่องกราด ผู้วิจัยขอขอบคุณภาควิชาพิสิกส์ คณะวิทยาศาสตร์ มหาวิทยาลัยเชียงใหม่ ที่ได้ให้  
ความอนุเคราะห์เครื่องทดสอบการสักหรือ และสายวิชาเทคโนโลยีวัสดุ มหาวิทยาลัยเทคโนโลยีพระ  
จอมเกล้าธนบุรี ที่ได้ให้ความอนุเคราะห์เครื่องทดสอบการกัดกร่อน ผู้วิจัยหวังเป็นอย่างยิ่งว่างานวิจัย  
นี้จะเป็นประโยชน์ต่ออุดหนุนรวม ที่มีการใช้เหล็กหล่อโครงเมียมสูงไม่นากกันน้อย

อัมพร เวียงมูล

ผู้วิจัย

## สารบัญ

เรื่อง	หน้า
บทคัดย่อภาษาไทย	ก
บทคัดย่อภาษาอังกฤษ	ข
กิตติกรรมประกาศ	ค
สารบัญ	ง
สารบัญตาราง	ด
สารบัญรูป	ซ
<b>บทที่ 1 บทนำ</b>	<b>1</b>
1.1 ความสำคัญและที่มาของงานวิจัย	1
1.2 วัตถุประสงค์ของงานวิจัย	2
1.3 ขอบเขตของงานวิจัย	2
1.4 ประโยชน์ที่คาดว่าจะได้รับ	2
<b>บทที่ 2 ทฤษฎีและงานวิจัยที่เกี่ยวข้อง</b>	<b>3</b>
2.1 ส่วนผสมทางเคมีของเหลือกหล่อโครเมียมสูง	3
2.2 เฟลส์ไดอะแกรมของระบบเหลือก-โครเมียม-คาร์บอน	5
2.3 เหลือกหล่อโครเมียมสูงออกสเตนนิติก	7
2.4 เหลือกหล่อโครเมียมสูงมาร์เทนซิติก	8
2.5 เหลือกหล่อโครเมียมสูงเพอร์วิติก	9
2.6 คาร์บีดในเหลือกหล่อโครเมียมสูง	10
2.7 การอบชุบเหลือกหล่อโครเมียมสูง	12
2.8 ความต้านทานการสึก蝕	19
2.9 ความต้านทานการกัดกร่อน	21
2.10 การใช้งานของเหลือกหล่อโครเมียมสูง	24
2.11 งานวิจัยที่เกี่ยวข้อง	26
<b>บทที่ 3 วิธีการทดลอง</b>	<b>27</b>
3.1 วัตถุดิบและส่วนผสมทางเคมี	27
3.2 การอบชุบทางความร้อน	27
3.3 การทดสอบความต้านทานการสึก蝕	28
3.4 การทดสอบความต้านทานการกัดกร่อน	30
3.5 การศึกษาโครงสร้างจุลภาค	31

<b>เรื่อง</b>	<b>หน้า</b>
<b>บทที่ 4 ผลการทดลองและการอภิปราย</b>	<b>32</b>
4.1 ความต้านทานการสึก蝕	32
4.2 โครงสร้างจุลภาคก่อนและหลังทดสอบการสึก蝕	34
4.3 ความต้านทานการกัดกร่อน	41
4.4 โครงสร้างจุลภาคหลังทดสอบการกัดกร่อน	42
<b>บทที่ 5 สรุปผลการทดลองและข้อเสนอแนะ</b>	<b>47</b>
5.1 สรุปผลการวิจัย	47
5.2 ข้อเสนอแนะ	47
<b>เอกสารอ้างอิง</b>	<b>48</b>
<b>ภาคผนวก ก การทดสอบการสึก蝕แบบ Pin-on-Disc</b>	<b>50</b>



## สารบัญตาราง

ตารางที่	หน้า
2.1 ส่วนผสมและความแข็งของเหล็กหล่อโครงเมียม (BS 4844)	4
2.2 ส่วนผสมทางเคมีของเหล็กหล่อโครงเมียมสูง (ASTM A-532-87)	4
2.3 ชนิดของคาร์บิเดและความแข็ง	12
3.1 ส่วนผสมทางเคมีของเหล็กหล่อโครงเมียมสูงที่ใช้ในการทดสอบ	27
3.2 สภาพการอบซุบทางความร้อนของชิ้นงาน	28
3.3 สภาพที่ใช้ในการทดสอบแบบขัดถู	29



## สารบัญรูป

รูปที่	หน้า
1.1 ใบพัด (impeller) ที่ผลิตจากเหล็กหล่อโครเมียมสูง 26%Cr (ก) ก่อนการใช้งาน (ข) หลังการใช้งาน 1 อาทิตย์ ในกระบวนการการตอกแร่สังกะสี ภายใต้สภาพที่มีทั้ง การเสียดสีและการกัดกร่อน	1
2.1 แผนภาพของระบบเหล็ก-โครเมียม-คาร์บอน ของ Thorpe และ Chicco แสดง ส่วนผสมของเหล็กหล่อโครเมียมสูงที่ใช้งานโดยทั่วไปซึ่งมีโครงสร้างเป็นเฟส ออกไซด์ในที่	6
2.2 แผนภาพแสดงภาพฉายของพื้นผิวลิกวิดัส (liquidus surface) ของระบบเหล็ก- โครเมียม-คาร์บอน โดยกล่องสี่เหลี่ยมแสดงส่วนผสมของเหล็กหล่อโครเมียมสูง แบบไฮโปปอยเตกติกที่ใช้งานโดยทั่วไป	6
2.3 โครงสร้างจุลภาคในสภาพหล่อของเหล็กหล่อโครเมียมสูง 30wt%Cr-2.4wt%C ที่ ประกอบด้วย เดนไตรฟ์ปูมภูมิ ยูเทกติกคาร์ไบด์ $M_7C_3$ และยูเทกติกօอสเทน ในที่เปลี่ยนเป็นมาร์เกนไซท์	7
2.4 โครงสร้างจุลภาคของเหล็กหล่อโครเมียมสูง 2wt%C-20wt%Cr-1.75wt%Mo หลังจากการอบชุบในลักษณะต่างๆ (ก) อบที่อุณหภูมิ $900^{\circ}\text{C}$ เป็นเวลา 4 ชั่วโมง และปล่อยให้เย็นในอากาศ (ข) ตัวอย่างขึ้นเดียวกับ (ก) แต่ที่กำลังขยายสูง กว่าแสดงลักษณะและการกระจายของเฟสคาร์ไบด์ทุติยภูมิ (ค) อบที่อุณหภูมิ $900^{\circ}\text{C}$ เป็นเวลา 1 ชั่วโมง และปล่อยให้เย็นในอากาศจะเห็นว่าไม่เกิดเฟสคาร์ ไบด์ทุติยภูมิเนื่องจากเวลาที่ใช้มานานพอ (ง) อบที่อุณหภูมิ $1000^{\circ}\text{C}$ เป็นเวลา 4 ชั่วโมง และปล่อยให้เย็นในอากาศ	9
2.5 โครงสร้าง Deep etched แสดงลักษณะของยูเทกติกคาร์ไบด์ (ก) คาร์ไบด์ชนิด $M_3C$ ในเหล็กหล่อ 3.6wt%C-5wt%Cr จะมีลักษณะที่ต่อเนื่อง (ข) คาร์ไบด์ชนิด $M_7C_3$ ในเหล็กหล่อ 2.4wt%C-30wt%Cr ที่มีขนาดเล็กและต่อเนื่องน้อยกว่า	10
2.6 (ก) คาร์ไบด์ทุติยภูมิ $M_{23}C_6$ ในเหล็กหล่อ 29.3wt%Cr-2.5wt%C iron (ข) คาร์ไบด์ ทุติยภูมิ $M_7C_3$ ในเหล็กหล่อ 17.7wt%Cr-3.1wt%C iron (ค) คาร์ไบด์ทุติยภูมิ $M_3C$ ในเหล็กหล่อ 8.8wt%Cr-3.0wt%C	11
2.7 แผนภาพ TTT สำหรับเหล็กหล่อโครเมียมสูง 2.5%C-20%Cr-1.5%Mo ซึ่งมี โครงสร้างหลังจากการหล่อเป็นօอสเทนไนท์ เมื่อ A แทนօอสเทนไนท์ F แทน เฟอร์ไรท์ C แทนคาร์ไบด์	14

## สารบัญรูป (ต่อ)

รูปที่	หน้า
2.8 โครงสร้างจุลภาคของเหล็กหล่อโครงเมียมสูง 2.5%C-20%Cr-1%Mo หลังการอบที่อุณหภูมิต่างๆ แล้วปล่อยให้ชิ้นงานเย็นตัวอย่างซ้ำๆ (ก) อบที่อุณหภูมิ 750°C เป็นเวลา 4 ชั่วโมง ความแข็ง 400 HV (ข) อบที่อุณหภูมิ 850°C เป็นเวลา 4 ชั่วโมง ความแข็ง 390 HV (ค) อบที่อุณหภูมิ 950°C เป็นเวลา 4 ชั่วโมง ความแข็ง 350 HV	15
2.9 ผลของอุณหภูมิในการอบดีสเตบิไลเซชันต่อค่าความแข็งของเหล็กหล่อ 2wt%C-20wt%Cr-1.7wt%Mo	16
2.10 ผลของอุณหภูมิในการอบคืนไฟ (tempering temperature) ต่อค่าความแข็งของเหล็กหล่อ 2wt%C-20wt%Cr-1.7wt%Mo	17
2.11 ผลของเวลาในการอบคืนไฟ (tempering time) ที่อุณหภูมิ 520°C ต่อค่าความแข็งของเหล็กหล่อ 2wt%C-20wt%Cr-1.7wt%Mo	17
2.12 เปรียบเทียบความต้านทานการกัดกร่อนและการสึก蝕แบบบัดชาže	22
2.13 เส้นโค้งอาโนไดก์โพลาไลเซชันของเหล็กหล่อในสารละลายซัลฟูริก (ก) เหล็กหล่อ 10wt%, 15wt% และ 20wt% ในสภาพหล่อ (ข) เหล็กหล่อ 25wt% ในสภาพหล่อ (ค) เหล็กหล่อ 30wt%Cr ในสภาพหล่อและหลังการอบชุบ	22
2.14 กราฟแสดงความสัมพันธ์ระหว่างกระแสไฟฟ้ากับศักยไฟฟ้า	24
2.15 ตัวถังปั๊มแบบหอยโข่งสำหรับการขนถ่ายน้ำดิน ตัวปั๊มมีรัศมีภายใน 1 เมตร และมีน้ำหนัก 350 กิโลกรัม	25
2.16 ล้อลูกกลิ้งสำหรับใช้ในการบดหินในอุตสาหกรรมเหมืองแร่ มีน้ำหนัก 4500 กิโลกรัม	26
3.1 กระบวนการการอบชุบท่างความร้อนของเหล็กหล่อโครงเมียมสูง	28
3.2 ส่วนประกอบและหลักการทำงานของเครื่องทดสอบการสึก蝕แบบ pin-on-disc	29
3.3 ชุดอุปกรณ์ที่ใช้ในการทดสอบความต้านทานการกัดกร่อน	30
3.4 ส่วนประกอบของเซลล์ชนิด 3 ชั้ว	31
3.5 ตัวอย่างชิ้นงานที่ใช้ทดสอบความต้านทานการกัดกร่อน	31

## สารบัญรูป (ต่อ)

รูปที่	หน้า
4.1 กราฟเปรียบเทียบความด้านทานการสึกหรอที่ทดสอบแบบ pin-on-disc ของเหล็กหล่อโครงเมียมสูง 18wt%Cr-2.8wt%C-6.7wt%Mo ในสภาพหล่อ (AC), หลังการอบดีสเตบิไลเซชัน (D) และหลังการอบดีสเตบิไลเซชันและเทมเปอร์ริ่ง (D+T)	32
4.2 ผลของการอบซุบท่อความแข็งของเหล็กหล่อโครงเมียมสูง 18wt%Cr-2.8wt%C-6.7wt%Mo ในสภาพหล่อ (AC), หลังการอบดีสเตบิไลเซชัน (D) และหลังการอบดีสเตบิไลเซชันและเทมเปอร์ริ่ง (D+T)	33
4.3 แบบรูปการเลี้ยวเบนของรังสีเอกซ์ แสดงชนิดของเฟลในชิ้นงาน (ก) สภาพหล่อ (ข) หลังการอบดีสเตบิไลเซชัน (ค) หลังการอบดีสเตบิไลเซชันและเทมเปอร์ริ่ง	33
4.4 โครงสร้างจุลภาคของเหล็กหล่อ 18wt%Cr-3wt%C-6.7%Mo จากกล้องจุลทรรศน์แสง (ก) ในสภาพหล่อ (ข) หลังการอบดีสเตบิไลเซชัน (ค) หลังการอบดีสเตบิไลเซชันและเทมเปอร์ริ่ง	35
4.5 โครงสร้างจุลภาคของเหล็กหล่อ 18wt%Cr-3wt%C-6.7%Mo จากกล้องจุลทรรศน์อิเล็กตรอน แบบส่องกราด (ก) ในสภาพหล่อ (ข) หลังการอบดีสเตบิไลเซชัน (ค) หลังการอบดีสเตบิไลเซชันและเทมเปอร์ริ่ง	36
4.6 โครงสร้างจุลภาคของเหล็กหล่อจากกล้องจุลทรรศน์อิเล็กตรอนแบบส่องกราด หลังกัดกรด HCl+methanol เป็นเวลา 12 ชั่วโมง (ก) ในสภาพหล่อ (ข) หลังการอบดีสเตบิไลเซชัน (ค) หลังการอบดีสเตบิไลเซชันและเทมเปอร์ริ่ง	37
4.7 ชิ้นงานหลังทดสอบการสึกหรอแบบ pin-on-disc	38
4.8 โครงสร้างจุลภาคของชิ้นงานในสภาพหล่อหลังทดสอบการสึกหรอ	39
4.9 โครงสร้างจุลภาคหลังทดสอบการสึกหรอของชิ้นงานที่ผ่านการอบซุบทางความร้อน	40
4.10 การเปรียบเทียบเส้นโค้งโพลาไรเซชันของเหล็กหล่อ 18wt%Cr-2.8wt%C-6.7wt%Mo ในสภาพหล่อ (AC), หลังการอบดีสเตบิไลเซชัน (D) และหลังการอบดีสเตบิไลเซชันและเทมเปอร์ริ่ง (D+T) ในสารละลายน้ำกรดซัลฟูริกเข้มข้น 0.5 มิลลาร์	41
4.11 โครงสร้างหลังทดสอบการกัดกร่อนของเหล็กหล่อ 18wt%Cr-2.8wt%C-6.7wt%Mo (ก) ในสภาพหล่อ (ข) ลักษณะการกัดกร่อนแบบรูเข็มบนผิวน้ำของอสเทนไนท์ปูร์มูกูมิ	43

## สารบัญรูป (ต่อ)

รูปที่	หน้า
4.12 โครงสร้างหลังทดสอบการกัดกร่อนของเหล็กหล่อ 18wt%Cr-2.8wt%C-6.7wt%Mo (ก) หลังการอบดีสเตบิไลเซชัน (ข) หลังการอบดีสเตบิไลเซชันและเทมเปอร์ริ่ง	44
4.13 (ก) ฟิล์มป้องกันบนผิวน้ำแข็งซึ่งงานหลังการอบดีสเตบิไลเซชัน (ข) EDS spectrum และส่วนผสมทางเคมีของฟิล์มออกไซด์	45
4.14 ภาพจำลองกลไกการกัดกร่อนในสภาพหล่อของเหล็กหล่อ 18wt%Cr-2.8wt%C- 6.7wt%Mo	46
4.15 ภาพจำลองกลไกการกัดกร่อนหลังการอบซุบทางความร้อนของเหล็กหล่อ 18wt%Cr-2.8wt%C-6.7wt%Mo	46

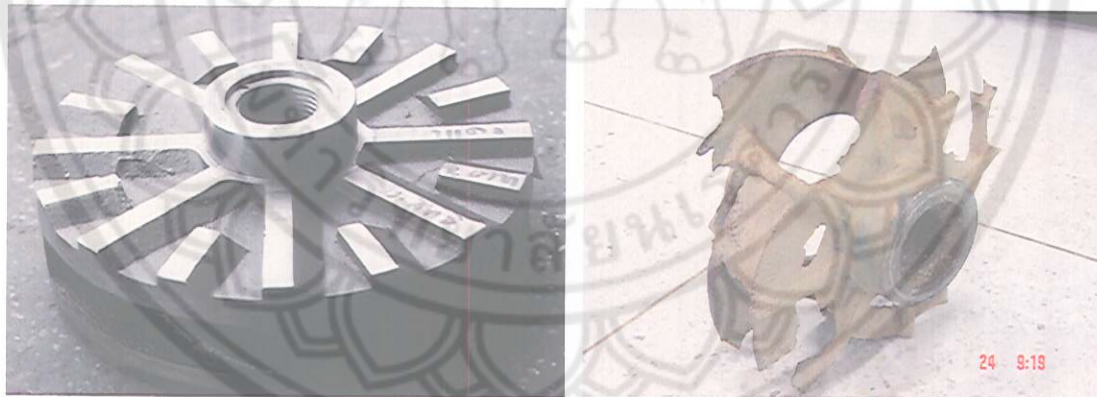
## บทที่ 1

### บทนำ

#### 1.1 ความสำคัญและที่มาของงานวิจัย

งานวิจัยนี้เป็นการแก้ปัญหาจากโจทย์ในงานถลุงสังกะสี ของบริษัทผ้าแดง อินดัสทรี จำกัด (มหาชน) จังหวัดตาก โดยเฉพาะปั๊มหอยโข่งที่ใช้ในการขันถ่ายสินแร่ในอุตสาหกรรมการสกัดแร่สังกะสี ในอดีตทางบริษัทฯ ได้นำเข้าปั๊มหอยโข่งที่มีส่วนผสม 26%Cr จากต่างประเทศซึ่งมีราคาสูง เพื่อลดต้นทุน การผลิตทางบริษัทฯ จึงใช้ปั๊มหอยโข่งที่ผลิตในประเทศไทย แต่ก็ประสบปัญหานางานใช้งานเนื่องจากมีอายุการใช้งานเพียง 1 อาทิตย์ ดังแสดงในรูปที่ 1.1

จากการวิจัยที่ผ่านมาพบว่า เหล็กหล่อโครเมียม 18%Cr-2.8%C-6.7%Mo ที่ผ่านการอบชุบทางความร้อน จะมีเพิ่มความแข็งเพิ่มขึ้น อย่างไรก็ตามยังไม่มีการทดสอบการลึกหรือและการกัดกร่อน ดังนั้นงานวิจัยในครั้งนี้มีจุดประสงค์ เพื่อศึกษาผลของการอบชุบต่อความต้านทานการลึกหรือและการกัดกร่อน ของเหล็กหล่อโครเมียม 18%Cr-2.8%C-6.7%Mo ดังนั้นถ้าหากงานวิจัยนี้สำเร็จก็จะสามารถเข้าใจถูกต้อง การลึกหรือและการกัดกร่อนของเหล็กหล่อโครเมียมสูง



รูปที่ 1.1 ใบพัด (impeller) ที่ผลิตจากเหล็กหล่อโครเมียมสูง 26 wt %Cr (ก) ก่อนการใช้งาน (ข) หลังการใช้งาน 1 อาทิตย์ ในกระบวนการสกัดแร่สังกะสี ภายใต้สภาพที่มีทั้งการเสียดสีและการกัดกร่อน

## 1.2 วัตถุประสงค์ของงานวิจัย

- ศึกษาผลของการอบซุบทางความร้อนต่อความด้านทานการกัดกร่อน และความด้านทานการลีกหรือของเหล็กหล่อโครงเมียมสูง 18wt%Cr-2.8wt%C-6.7wt%Mo
- เพื่อศึกษากลไกการกัดกร่อนและการลีกหรือของเหล็กหล่อโครงเมียมสูง 18wt%Cr-2.8wt%C-6.7wt%Mo

## 1.3 ขอบเขตงานวิจัย

- ทดสอบความด้านทานการลีกหรือแบบ pin-on-disc และความด้านทานการกัดกร่อนโดยวิธีการหางไฟฟ้า-เคมี
- ศึกษาโครงสร้างจุลภาคหลังทดสอบการกัดกร่อนและการลีกหรือด้วยกล้องจุลทรรศน์อิเล็กตรอนแบบส่องกลาด (scanning electron microscopy)

## 1.4 ประโยชน์ที่คาดว่าจะได้รับ

### 1. ด้านวิชาการ :

- ทำให้ทราบถึงอิทธิพลของการอบซุบและการเติมธาตุต่อความด้านทานการกัดกร่อนและการลีกหรือของเหล็กหล่อโครงเมียมสูง

1.2 สามารถอธิบายกลไกการกัดกร่อนและการลีกหรือของเหล็กหล่อโครงเมียมสูง

### 2. ด้านการประยุกต์ใช้งาน :

สำหรับอุตสาหกรรมการหล่อ สามารถปรับปุ่งและพัฒนาสมบัติเหล็กหล่อโครงเมียมสูงให้มีอายุการใช้งานยาวนานขึ้นภายใต้สภาวะที่มีการเสียดสีและการกัดกร่อน

## บทที่ 2

### ทฤษฎีและงานวิจัยที่เกี่ยวข้อง

#### 2.1 ส่วนผสมทางเคมีของเหล็กหล่อโครงเมียมสูง [1-8]

เหล็กหล่อโครงเมียมสูงเริ่มมีบทบาทสำคัญขึ้นมากในอุตสาหกรรมเหมืองแร่และอุตสาหกรรมซีเมนต์ โดยเฉพาะโครงเมียมคาร์บไบด์มีคุณสมบัตินการลีดสีหรือการลีกหรอ (high abrasion resistance) ทำให้มีอายุการใช้งานยาวนาน การผลิตเหล็กหล่อโครงเมียมสูงได้ทำกันมาเป็นระยะเวลาแล้ว โดยหลอมด้วยเตาคิวโพลา แต่การควบคุมคุณภาพจะทำได้ไม่ดีเท่าที่ควรเพราการหลอมด้วยเตาคิวโพลาที่ควบคุมปริมาณคาร์บอนได้ยาก ทำให้เหล็กหล่อโครงเมียมมีปริมาณคาร์บอนสูงและเหล็กจะเปราะแตกหักง่าย แต่ปัจจุบันนี้มีเทคโนโลยี Niagara work ได้ทำการทดลองหลอมเหล็กหล่อโครงเมียมสูงด้วยเตาหลอมไฟฟ้า และสามารถผลิตเหล็กหล่อที่มีคาร์บอนต่ำ โดยสามารถเพิ่มปริมาณของโครงเมียมได้สูงถึง 30% ทำให้การใช้เหล็กหล่อโครงเมียมสูงเพิ่มมากขึ้นจนถูกนำไปใช้ในเครื่องจักรกล้ำมงานที่ต้องการความทนทานต่อการลีกหรอแบบขัดขู (abrasive wear) เช่น ในกระบวนการการบดสินแร่ การบดถ่านหิน เป็นต้น การผลิตปูนซีเมนต์ ในปัจจุบันมีโรงหล่อผลิตเหล็กหล่อโครงเมียมสูงอยู่หลายเกรด แต่ที่นิยมผลิตมากที่สุดได้แก่เหล็กหล่อชนิด 2828 คือเหล็กหล่อที่มีคาร์บอน 2.8% และมีโครงเมียมผสม 28%

เหล็กหล่อโครงเมียมสูงที่ได้รับการใช้งานส่วนใหญ่เป็นแบบไฮป์โซลูติก ที่มีส่วนผสมอยู่ในช่วงของออกซิเจนไนท์ ซึ่งมีปริมาณโครงเมียม 10-30wt% และคาร์บอน 2-3.5wt% เหล็กหล่อที่มีปริมาณ 12wt%Cr มีราคาถูกที่สุด แต่ที่นิยมใช้งานโดยทั่วไปจะมีส่วนผสมเป็น 18-22wt%Cr สำหรับเหล็กหล่อที่มีปริมาณ 27-30wt%Cr และ 2.0-2.7wt%C จะนำไปใช้ในงานที่ต้องการทั้งความทนทานต่อการลีกหรอ (wear resistance) และการกัดกร่อน (corrosion) เช่น การปั๊มของเหลวข้น (slurry pumping) เป็นต้น

มาตรฐานเหล็กหล่อโครงเมียมสูงไฮป์โซลูติกที่มักจะถูกอ้างอิงมี 2 มาตรฐาน คือ British standard (BS484) และ ASTM standard A-532 สำหรับ JIS ยังไม่ปรากฏว่ามีมาตรฐานเหล็กหล่อโครงเมียมสูง มาตรฐานเหล็กหล่อโครงเมียมสูงของอังกฤษแบ่งออกเป็น 5 เกรด ดังแสดงในตารางที่ 2.1 ส่วนมาตรฐานเหล็กหล่อโครงเมียมสูงของอเมริกา A.S.T.M. แบ่งออกเป็น 6 เกรด ดังแสดงในตารางที่ 2.2

ตารางที่ 2.1 ส่วนผสมและความแข็งของเหล็กหล่อโครเมี่ยม (BS 4844)

Grade	Chemical Composition%								As-cast hardness $H_B$ min
	C.	Si <sub>max</sub>	Mn	Cr	Mo	Ni	Cu	P <sub>max</sub>	
3A	2.4-3.0	1.0	0.5-1.5	14-17	0-2.5	0-1.0	0-1.2	0.1	450
3B	3.0-3.6	1.0	0.5-1.5	14-17	1-3.0	0-1.0	0-1.2	0.1	500
3C	2.2-3.0	1.0	0.5-1.5	17-22	0-3.0	0-1.5	0-1.2	0.1	450
3D	2.4-2.8	1.0	0.5-1.5	22-18	0-1.5	0-1.0	0-1.2	0.1	400
3E	2.8-3.2	1.0	0.5-1.5	22-28	0-1.5	0-1.0	0-1.2	0.1	400

ตารางที่ 2.2 ส่วนผสมทางเคมีของเหล็กหล่อโครเมี่ยมสูง (ASTM A-532-87)

Class	Type	Designation	Element (%wt)								
			C	Mn	Si	Ni	Cr	Mo	P	S	Cu
I	A	Ni-Cr-HC	2.8-3.6	2.0	0.8	3.3-5.0	1.4-4.0	1.0	0.3	0.15	-
	B	Ni-Cr-LC	2.4-3.0	2.0	0.8	3.3-5.0	1.4-4.0	1.0	0.3	0.15	-
	C	Ni-Cr-GB	2.5-3.7	2.0	0.8	4.0	1.0-1.5	1.0	0.3	0.15	-
	D	Ni-HiCr	2.5-3.6	2.0	2.0	4.5-7.0	7.0-11.0	1.5	0.1	0.15	-
II	A	12%Cr	2.0-3.3	2.0	1.5	2.5	11.0-14.0	3.0	0.1	0.6	1.2
	B	15%Cr-Mo	2.0-3.3	2.0	1.5	2.5	14.0-18.0	3.0	0.1	0.6	1.2
	D	20%Cr-Mo	2.0-3.3	2.0	1-2.2	2.5	18.0-23.0	3.0	0.1	0.6	1.2
III	A	25Cr	2.3-3.3	2.0	1.5	2.5	23.0-30	3.0	0.1	0.6	1.2

เหล็กหล่อ 14-28wt%Cr สามารถใช้งานในรูปของอุสเทนไนท์ จุดประสังค์การเดิมไม่ลิบดินัมเพื่อหลีกเลี่ยงการเกิดโครงสร้างของเพอร์วอทในสภาพหล่อ และเพิ่มความสามารถในการชุบแข็ง (hardenability) ระหว่างการอบชุบทาทางความร้อน ส่วนซีลิกอนจะช่วยเพิ่มความสามารถในการหล่อ และลดการเกิดออกซิเดชัน แต่ปริมาณของซีลิกอนต้องไม่เกิน 0.8wt% เนื่องจากจะทำให้การเกิดโครงสร้างของเพอร์วอทและลดความสามารถในการชุบแข็ง ส่วนเหล็กหล่อ 30-35wt%Cr จะใช้ในงานที่ต้องการความต้านทานการเกิดออกซิเดชันและการกัดกร่อนที่อุณหภูมิสูง เช่น ชิ้นส่วนของเตาเผา โดยโครงสร้างจุลภาคของเหล็กหลอกลุ่มนี้ประกอบด้วยเฟอร์วอทและยูเทกติกคาร์บไบด์

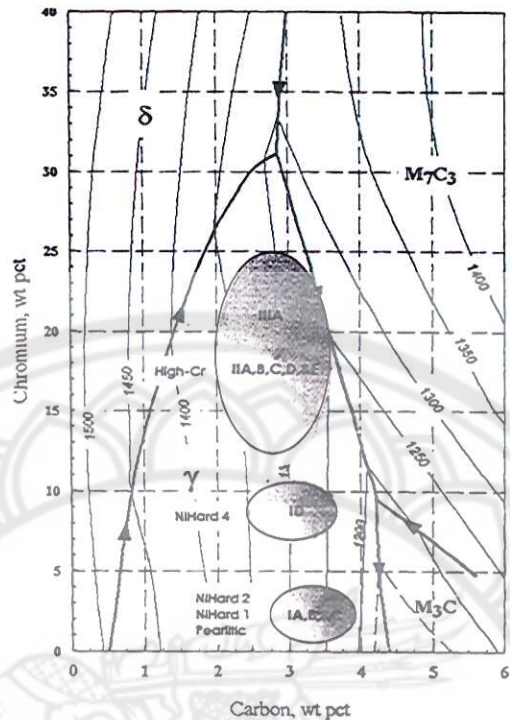
## 2.2 เฟสไดอะแกรมของระบบเหล็ก-โครเมียม-คาร์บอน [7,9-14]

รูปที่ 2.1 แสดงส่วนผสมทางเคมีของเหล็กหล่อโครเมียมสูงตามมาตรฐาน ASTM A532 (ตาราง 2.2) ในเฟสไดอะแกรมของ Thorpe and Chicco สำหรับเหล็กหล่อโครเมียมสูง IA, B and C ที่อยู่ส่วนล่างของรูปที่ 2.1 จะเกิดโครงสร้างยูเทกติกของอสเทนในที่แล้วcaribe M<sub>3</sub>C ในขณะที่เหล็กหล่อ ID, IIA, B, C, D, E และ IIIA จะเกิดโครงสร้างยูเทกติกของอสเทนในที่แล้วcaribe M<sub>7</sub>C<sub>3</sub> เหล็กหล่อเกรด ID ที่มีปริมาณโครเมียมสูงกว่าเกรด IA-C จะเกิดยูเทกติกของcaribe M<sub>7</sub>C<sub>3</sub> ซึ่งบางส่วนจะเปลี่ยนเป็นcaribe M<sub>3</sub>C ในระหว่างการเย็บตัว ทำให้เกิดโครงสร้างของcaribe M<sub>3</sub>C ซึ่งมีขนาดเล็กกว่าcaribe M<sub>7</sub>C<sub>3</sub> ในเกรด IA-C ทำให้เหล็กหล่อเกรด ID มีความหนืดลื่นสูงกว่า เมื่อปริมาณโครเมียมสูงขึ้นแล้ว solidus จะเลื่อนไปทางซ้ายมือ และปริมาณคาร์บอนในเดนไดร์ทของอสเทนในที่จะลดลง ในขณะที่อุณหภูมิของปฏิกิริยา yutectic เพิ่มขึ้น

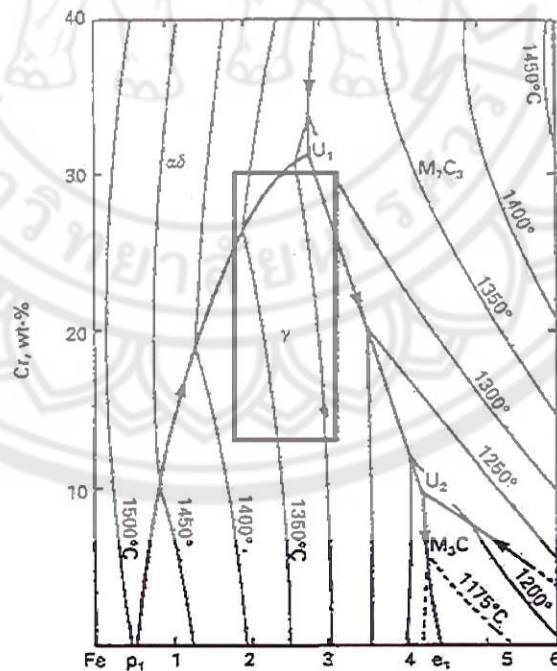
เหล็กหล่อโครเมียมสูงที่ได้รับการใช้งานส่วนใหญ่เป็นแบบไฮโปยูเทกติก ที่มีส่วนผสมอยู่ในช่วงเฟสของอสเทนในที่คือ 10-30wt%Cr และ 2-3.5wt%C ดังแสดงในรูปที่ 2.2 เหล็กหล่อกลุ่มนี้เมื่อเย็บตัวจากน้ำโลหะจะเกิดเป็นเดนไดร์ทของอสเทนในที่ปูนมภูมิ ตามด้วยยูเทกติกของอสเทนในที่และยูเทกติก caribe M<sub>7</sub>C<sub>3</sub> จากรูป 2.2 การเย็บตัวของเหล็กหล่อที่มีส่วนผสม 30wt%Cr-2.3wt%C เริ่มจากการเกิดเป็นเดนไดร์ทของอสเทนในที่ปูนมภูมิ ในขณะเดียวกันโครเมียมและคาร์บอนจะถูกผลักออก ทำให้น้ำโลหะมีปริมาณโครเมียมและคาร์บอนสูงขึ้น และเคลื่อนที่เข้าสู่จุดยูเทกติก (U<sub>1</sub>-U<sub>2</sub>) จนกระทั่งอุณหภูมิลดลงถึงปฏิกิริยา yutectic (L → γ + M<sub>7</sub>C<sub>3</sub>) จะเกิดโครงสร้างของยูเทกติก (eutectic structure) คือ yutectic ออสเทนในที่และยูเทกติก caribe M<sub>7</sub>C<sub>3</sub> ระหว่างแขวนเดนไดร์ท (interdendritic dendrite) ของอสเทนในที่ปูนมภูมิ การเย็บตัวของโลหะจะสมบูรณ์ก่อนจะถึงจุด U<sub>2</sub>

เหล็กที่มีส่วนผสมในช่วง 2-2.5wt%C และโครเมียมมากกว่า 30wt%Cr จะเกิดเฟสเฟอร์ไรท์ปูนมภูมิ ซึ่งมักใช้ในงานที่ต้องการความต้านทานต่อความร้อน แต่เหล็กหล่อกลุ่มนี้จะอ่อนเกินไปทำให้มีความสามารถต่อการสึกหรอได้ดีนัก ทั้งนี้เนื่องจากเฟอร์ไรท์มีเสถียรภาพตลอดช่วงอุณหภูมิค่อนข้างกว้างและเหล็กหล่อกลุ่มนี้ไม่สามารถเพิ่มความแข็งโดยการอบชุบได้

โดยทั่วไปแล้วเจาจะหลีกเลี่ยงเหล็กหล่อที่มีส่วนผสมในช่วงที่เป็นแบบไฮเปอร์ยูเทกติก ซึ่งทำให้เกิดเฟสคาร์บิดปูนมภูมิ (primary carbides) เนื่องจากคาร์บิดปูนมภูมินั้นเป็นเฟสที่มีขนาดใหญ่และทำให้ชั้นงานหล่อเปราะ การเย็บตัวของเหล็กหล่อนี้เริ่มจากการเกิดเป็นcaribe M<sub>7</sub>C<sub>3</sub> ปูนมภูมิ ทำให้น้ำโลหะมีปริมาณโครเมียมและคาร์บอนลดลงและเคลื่อนที่เข้าสู่ปฏิกิริยา yutectic (U<sub>1</sub>-U<sub>2</sub>)



รูปที่ 2.1 แผนภาพของระบบเหล็ก-โครเมียม-คาร์บอน ของ Thorpe และ Chicco แสดงส่วนผสมของเหล็กหล่อโครเมียมสูงที่ใช้งานโดยทั่วไปซึ่งมีโครงสร้างเป็นเฟลออกซเทนในที่



รูปที่ 2.2 แผนภาพแสดงสภาพของพื้นผิวน้ำ汽化 (liquidus surface) ของระบบเหล็ก-โครเมียม-คาร์บอน โดยกล่องสีเหลืองแสดงส่วนผสมของเหล็กหล่อโครเมียมสูงแบบไฮเป็กติกที่ใช้งานโดยทั่วไป

### 2.3 เหล็กหล่อโครงเมียมสูงอุสเทนนิติก [1, 3-7,14]

เหล็กหล่อที่มีปริมาณโครงเมียมประมาณ 10-30wt%Cr และคาร์บอน 2-3.5wt% จะถูกนำไปใช้สำหรับผลิตเป็นชิ้นส่วนที่มีสมบัติเชิงพาลสำหรับใช้งาน เช่น ในกระบวนการการที่เกี่ยวข้องกับแร่ การผลิตปูนซีเมนต์ และปั๊มของไอลประภากของเหลวเนื้อผอมชนิดอนุภาคหนึด เป็นต้น เนื่องจากความต้านทานการเสียดสีและความเนียนยวาวของเหล็กประภานี้จะแปรไปตามสมบัติในการทำงาน โดยชิ้นอยู่กับชนิดและสัดส่วนของคาร์บีดในเนื้อเหล็ก ประภากการใช้งาน และเมทริกซ์ที่มีสมบัติเหมาะสม โครงสร้างจุลภาคในสภาพหล่อของเหล็กหลอกกลุ่มนี้ ประกอบด้วยเดน์ไดร์ทหรือโครงสร้างที่เป็นกังกันของอุสเทนนีท์ โดยที่ระหว่างแขวนเดน์ไดร์ทจะล้อมรอบด้วยโครงสร้างของยูเกตติก ซึ่งประกอบด้วยยูเกตติกคาร์บีดซึ่งเป็นสารประกอบของเหล็กและคาร์บอน คือ  $M_7C_3$  และยูเกตติกอุสเทนในที่มักจะเปลี่ยนเป็นมาრ์เกนไซท์ระหว่างการเย็บตัวในแบบหล่อ ดังรูปที่ 2.3



รูปที่ 2.3 โครงสร้างจุลภาคในสภาพหล่อของเหล็กหล่อโครงเมียมสูง 30wt%Cr-2.4wt%C ที่ประกอบด้วยเดน์ไดร์ทปูนภูมิ ยูเกตติกคาร์บีด  $_3C_7M$  และยูเกตติกอุสเทนในที่ที่เปลี่ยนเป็นมาร์เกนไซท์

สำหรับเหล็กหล่อโครงเมียมสูงนี้ เพลสดอสเทนในที่ที่เกิดจากการแข็งตัวของน้ำโลหะอาจจะตกค้างระหว่างการเย็บตัวในแบบ หรืออาจจะเปลี่ยนไปเป็นมาร์เกนไซท์บางส่วนหรือทั้งหมด (หรือถ้าเป็นเฟอร์ไรท์และคาร์บีดที่เล็กละเอียด) แบบทุติยภูมิหรือเพิร์ลิติกได้ ทั้งนี้ขึ้นอยู่กับปัจจัยหลัก 2 ส่วน ได้แก่ ส่วนผสมทางเคมี และอัตราการเย็บตัวเชิงพาลแห่งของชิ้นงาน

โครงสร้างจุลภาคที่มีเมทัริกซ์เป็นออกอสเทนในทั้งหมดจะเกิดขึ้นภายใต้เงื่อนไขต่อไปนี้

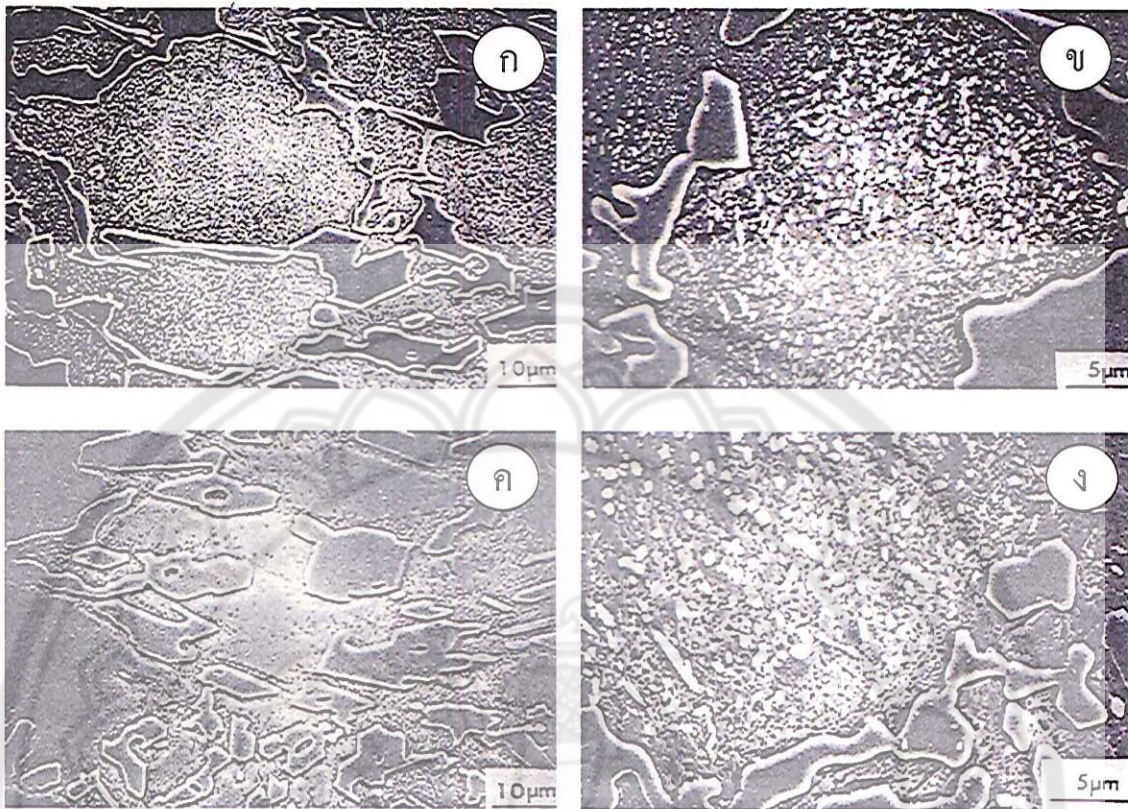
1. การเย็นด้วยอุ่นกว่าจุดเดือด เช่น ในบริเวณชิ้นงานหน้าเมมaga
2. อัตราส่วนระหว่างโครงเมียม/คาร์บอนมีค่าสูง
3. มีรัตติกเกิล ไมลิบินัม หรือทองแดง
4. มีการตัดตอนของคาร์บิดในระหว่างการเย็นด้วยชิ้นงานน้อยที่สุดเท่าที่จะเป็นไปได้
5. ไม่มีการเปลี่ยนเฟลส์ไปเป็นเฟอร์ไรท์และคาร์ไบด์ หรือเพรลไลท์
6. อุณหภูมิของการเกิดเฟスマր์เกนไซท์ (martensite, M<sub>s</sub>) ของเฟลส์ออกอสเทนในที่ต่ำกว่าอุณหภูมิโดยรอบ

ในการใช้งานบางอย่าง เหล็กหล่อโครงสร้างออกอสเทนนิติกในสภาพหล่ออาจจะใช้ได้ ทั้งนี้เนื่องจากเฟลส์ออกอสเทนในที่สามารถเพิ่มความแข็งเมื่อได้รับแรงกระทำ (work harden) โดยมีความแข็งเพิ่มขึ้นจาก 450-550 HV เป็น 1000 HV ซึ่งจะทำให้ผิวชิ้นงานที่ทนต่อการลึกหรือเกิดใหม่ทดแทนได้ (self-replacing wear resistant surface)

#### 2.4 เหล็กหล่อโครงเมียมสูงมาร์เกนไซทิก [1-4,6-7,13-14]

เหล็กหล่อโครงเมียมสูงที่มีโครงสร้างเป็นแบบออกอสเทนในที่มีข้อจำกัด คือ มีความต้านทานต่อการลึกหรือตัว ดังนั้นจึงจำเป็นต้องปรับปรุงคุณสมบัติเพื่อทำให้มีโครงสร้างที่แข็งขึ้น โดยการอบชุบทากร้อน (heat treatment) เพื่อเปลี่ยนโครงสร้างจากออกอสเทนในที่ที่อ่อนไปเป็นมาร์เกนไซท์ที่แข็ง

วิธีการอบชุบทากร้อนเหล็กหล่อโครงเมียมสูง เริ่มจากการเผาเหล็กหล่อโครงเมียมสูงภายหลังการเย็นด้วยแบบหล่อที่อุณหภูมิสูงระหว่าง 950-1050°C เพื่อให้โครงเมียมและคาร์บอนที่ละลายอยู่ในออกอสเทนในที่ในสภาพหล่อ ซึ่งละลายอยู่ในลักษณะเกินจุดอิ่มตัวที่ออกอสเทนในที่จะยอมให้ละลายอยู่ได้ การเผาในชั้นนี้จะเรียกว่า ดีสเตบิไลเซชัน (destabilisation) ทำให้คาร์บอนและโครงเมียมแยกตัวออกจากกันเป็นคาร์ไบด์ทุติยภูมิ (secondary carbide) เป็นการลดปฏิมาณคาร์บอนในออกอสเทนในที่ ทำให้ความสามารถในการชุบแข็งของออกอสเทนในที่เพิ่มขึ้น กล่าวคือ ออกอสเทนในที่จะเปลี่ยนไปเป็นเพรลไลท์ได้ยากขึ้นหรือโอกาสที่จะได้มาร์เกนไซท์จะสูงขึ้น หลังจากทำดีสเตบิไลเซชันในเวลาพอสมควรแล้ว 1 ชั่วโมง ต่อความหนา 25-20 มิลลิเมตร และจะปล่อยให้ชิ้นงานเย็นลงอย่างรวดเร็วโดยการใช้ลมเป่า ถ้าหากหล่อเมืองขนาดเล็กและรูปร่างซับซ้อน แต่ถ้าเป็นชิ้นงานที่มีความหนามากๆ จะใช้ชุบนำน้ำ (oil quenched) ซึ่งจะทำให้ได้โครงสร้างมาร์เกนไซท์และออกอสเทนในที่บางส่วนที่ตอกด้าน โครงสร้างจุลภาคหลังจากทำดีสเตบิไลเซชันประกอบด้วย คาร์ไบด์ทุติยภูมิที่ตอกดตอนในโครงสร้างของมาร์เกนไซท์และออกอสเทนในที่ตอกด้าน ดังรูปที่ 2.4



รูปที่ 2.4 โครงสร้างจุลภาคของเหล็กหล่อโครเมียมสูง 2wt%Cr-20wt%Cr-1.75wt%Mo หลังจากการอบชุบในลักษณะต่างๆ (ก) อบที่อุณหภูมิ  $900^{\circ}\text{C}$  เป็นเวลา 4 ชั่วโมง แล้วปล่อยให้เย็นในอากาศ (ข) ตัวอย่างซึ่งเดียวกับรูป (ก) แต่ที่กำลังขยายสูงกว่าแสดงลักษณะและการกระจายของเฟสคาร์บีดทุติยภูมิ (ก) อบที่อุณหภูมิ  $900^{\circ}\text{C}$  เป็นเวลา 1 ชั่วโมงแล้วปล่อยให้เย็นในอากาศ จะเห็นว่าไม่เกิดเฟสคาร์บีดทุติยภูมิเนื่องจากเวลาที่ใช้ไม่นานพอด้วย (ข) อบที่อุณหภูมิ  $1000^{\circ}\text{C}$  เป็นเวลา 4 ชั่วโมง แล้วปล่อยให้เย็นในอากาศ

## 2.5 เหล็กหล่อโครเมียมสูงเพอร์ริติก [3,11,13]

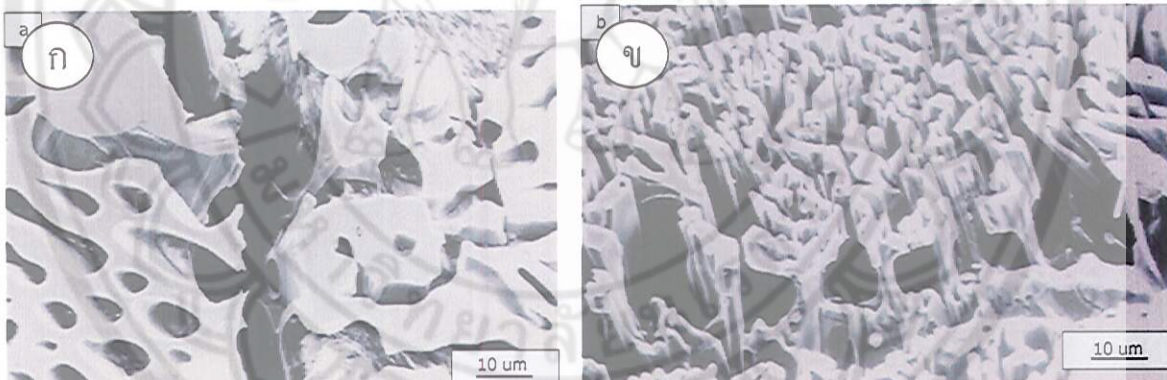
เหล็กหล่อโครเมียมสูงที่มีส่วนผสม 30-40wt Cr% และ 1.52.-4 wt% C จะมีโครงสร้างเป็นเพอร์ไรท์ป้อมภูมิ สำหรับเหล็กหล่อ 28-30wt%Cr ถ้ามีอัตราส่วนระหว่างโครเมียมและคาร์บอนสูงก็จะเกิดเพอร์ไรท์ป้อมภูมิเช่นเดียวกัน โครงสร้างจุลภาคในสภาพหล่อของเหล็กหลอกลุ่มนี้ประกอบด้วยเดนไดรท์ของเพอร์ไรท์ป้อมภูมิและยูเทกติกคาร์บีด  $\text{M}_7\text{C}_3$  ระหว่างแขวนเดนไดรท์ เหล็กหล่อเพอร์ริติกมีความต้านทานการสึก蝕ดีและไม่สามารถทำกรอบชุบทางความร้อนอย่างไว้ก็ตาม เหล็กหลอกลุ่มนี้จะใช้งานได้ดีหากต้องการทั้งความต้านทานการสึก蝕และความต้านทานการกัดกร่อน รวมทั้งความทนทานต่อความร้อน

## 2.6 คาร์ไบด์ในเหล็กหล่อโครงเมียมสูง [3,6,8,12-14]

### ญูเกกติกคาร์ไบด์

ชนิดและรูปร่างของญูเกกติกคาร์ไบด์ในเหล็กหล่อโครงเมียมสูงขึ้นอยู่กับส่วนผสมทางเดมีและอัตราการเย็นตัว Powell [14] พบว่าการเพิ่มปริมาณโครงเมียมและคาร์บอน จะทำให้ญูเกกติกคาร์ไบด์  $M_3C$  ที่ต่อเนื่องเปลี่ยนเป็นชนิด  $M_7C_3$  ซึ่งมีลักษณะไม่ต่อเนื่อง เป็นผลให้ความเนียน雅สูงขึ้น เมื่อโครงเมียมต่ำกว่า 12wt% ญูเกกติกคาร์ไบด์จะเป็นชนิด  $M_3C$  โดยที่โครงเมียมต่ำกว่า 6wt% ญูเกกติกคาร์ไบด์จะต่อเนื่องกันมากขึ้น แต่ถ้าโครงเมียมอยู่ระหว่าง 8-10wt% ญูเกกติกคาร์ไบด์จะต่อเนื่องน้อยลงและมีลักษณะเป็นดูเพล็กซ์ โดยมีแกนกลางเป็น  $M_7C_3$  และล้อมรอบด้วย  $M_3C$  ถ้าปริมาณโครงเมียมสูงกว่า 12wt% ญูเกกติกคาร์ไบด์จะเป็นชนิด  $M_7C_3$  ซึ่งมีลักษณะไม่ต่อเนื่องหรือเป็นแบบ lamellar

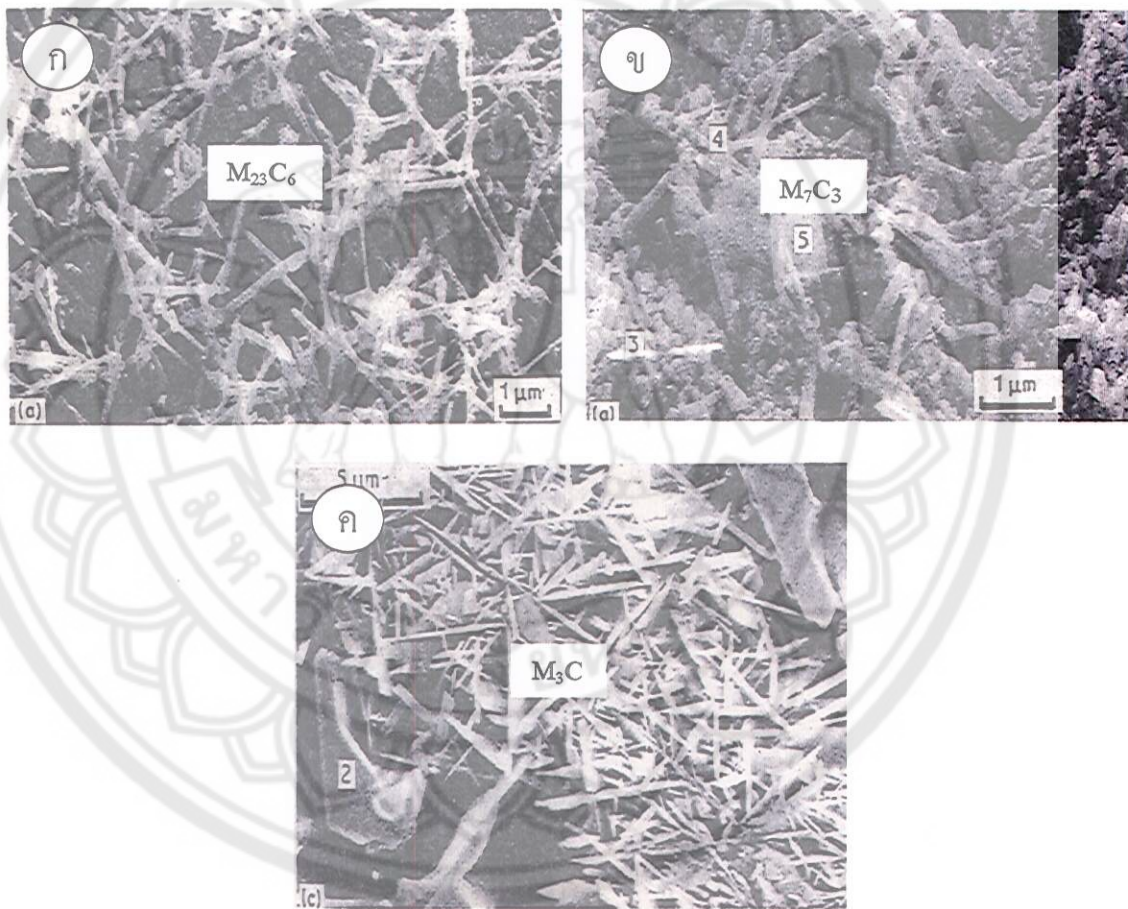
รูปที่ 2.5 เปรียบเทียบลักษณะของญูเกกติกคาร์ไบด์ในเหล็กหล่อ 3.6wt%C-5wt%Cr และ 2.4wt%C-30wt%Cr พบว่าคาร์ไบด์ชนิด  $M_7C_3$  ในเหล็กหล่อ 30wt%Cr จะมีรูปร่างเป็นแท่งหกเหลี่ยมและเป็นแผ่น ส่วนคาร์ไบด์ชนิด  $M_3C$  ในเหล็กหล่อ 5wt%Cr จะมีลักษณะที่ต่อเนื่องมากกว่า



รูปที่ 2.5 โครงสร้าง Deep etched แสดงลักษณะของญูเกกติกคาร์ไบด์ (ก) คาร์ไบด์ชนิด  $M_3C$  ในเหล็กหล่อ 3.6wt%C-5wt%Cr จะมีลักษณะที่ต่อเนื่อง (ข) คาร์ไบด์ชนิด  $M_7C_3$  ในเหล็กหล่อ 2.4wt%C-30wt%Cr ที่มีขนาดเล็กและต่อเนื่องน้อยกว่า

## คาร์ไบด์ทุติยภูมิ

ตามที่ได้กล่าวมาแล้ว เหล็กหล่อโครงเมียมสูงที่มีโครงสร้างเป็นแบบออลเทนไนท์ มีข้อจำกัดคือมีความต้านทานต่อการลึกหรอต่ำ ซึ่งสามารถปรับปรุงสมบัติโดยการอบดีสเตบิไลเซชัน ทำให้เกิดคาร์ไบด์ทุติยภูมิตตะกอนในเมทวิกซ์ของออลเทนไนท์ ชนิดของคาร์ไบด์ทุติยภูมิขึ้นอยู่กับส่วนผสมทางเคมีและอุณหภูมิดีสเตบิไลเซชัน ในเหล็กหล่อที่มีโครงเมียม 25-30wt%Cr คาร์ไบด์ทุติยภูมิเป็นชนิด  $M_{23}C_6$  ซึ่งมีลักษณะเป็นแท่งขนาดเล็กและต่อเชื่อมกัน ส่วนเหล็กหล่อที่มีโครงเมียม 15-20wt%Cr คาร์ไบด์ทุติยภูมิเป็นชนิด  $M_6C$  และ  $M_7C_3$  ที่มีลักษณะเป็นแท่ง ส่วนเหล็กหล่อที่มีโครงเมียมต่ำคาร์ไบด์ทุติยภูมิเป็นชนิด  $M_3C$  ที่เป็นแผ่นหรือเป็นเข็ม ชนิดและรูปร่างของคาร์ไบด์ทุติยภูมิแสดงในรูปที่ 2.6



รูปที่ 2.6 (ก) คาร์ไบด์ทุติยภูมิ  $M_{23}C_6$  ในเหล็กหล่อ 29.3wt%Cr-2.5wt%C iron (ข) คาร์ไบด์ทุติยภูมิ  $M_7C_3$  ในเหล็กหล่อ 17.7wt%Cr-3.1wt%C iron (ค) คาร์ไบด์ทุติยภูมิ  $M_3C$  ในเหล็กหล่อ 8.8wt%Cr-3.0wt%C

ตารางที่ 2.3 แสดงชนิดของคาร์บีดและค่าความแข็งของคาร์บีดชนิดต่างๆที่อาจพบได้ในโลหะสมเหล็ก-โครเมียม-คาร์บอน ได้แก่ เพส  $M_3C$ ,  $M_7C_3$  และ  $M_{23}C_6$  โดยที่ M คือ (Fe, Cr)

ตารางที่ 2.3 ชนิดของคาร์บีดและค่าความแข็ง

Type	Crystalline system	Lattice Constance	Specific Gravity	Hardness (HV)
$(Fe\ Cr)_3C$	Rhombic	$a = 4.52$ $b = 5.09$ $c = 6.74$	7.67	$\approx 000$
$(Fe\ Cr)_7C_3$	Hexagonal	$a = 6.88$ $b = 4.54$		
	Rhombic	$a = 4.54$ $b = 6.88$ $c = 11.94$	6.92	$\approx 400$
	Rhombohedral	$a = 13.98$ $b = 4.52$		
$(Fe\ Cr)_{23}C_6$	F.C.C.	$a = 10.64$	6.97	
$(Fe\ Cr)_3C_2$	Rhombic	$a = 2.82$ $b = 5.52$ $c = 11.46$	6.68	

## 2.7 การอบซุบเหล็กหล่อโครเมียมสูง [1-7,11,13-17]

สาเหตุที่ต้องใช้กระบวนการการอบซุบกับเหล็กหล่อ โดยทั่วไปมีดังนี้

- เพื่อเป็นการคลายความเค็นภายใน
- เพื่อทำให้เกิดโครงสร้างของสเทนไนท์ และเป็นการทำให้เหล็กเย็นตัวอย่างรวดเร็ว หรือซุบแข็ง ทำให้เหล็กแข็งขึ้น ในสภาพที่มีปริมาณชาตุผลอยู่ด้ำ
- ทำให้โครงสร้างของสเทนไนท์ในเหล็กโครเมียมสูงเกิดความไม่เสถียร เพื่อช่วยให้เกิดการซุบแข็งในบรรยากาศ (air-hardening) ได้
- เพื่อเป็นการอบคืนตัว (tempering) โครงสร้างมาრ์เกนไซท์
- เป็นการอบเพื่อแก้ปัญหาความไม่เหมาะสมและสม่ำเสมอของสมบัติในงานหล่อ
- ทำให้เหล็กมีความแข็งลดลง เพื่อให้การกัดกลึงหรืองานปั๊บแต่งทำได้ง่ายขึ้น

7. ปรับปรุงความเนียน雅 โดยการอบที่อุณหภูมิสูง

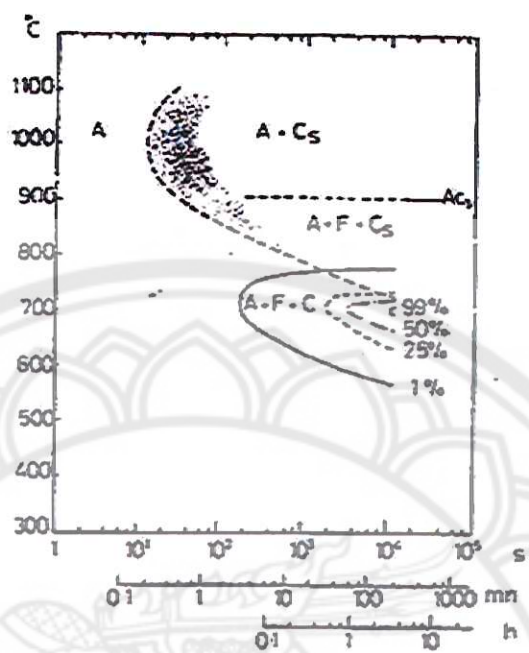
8. เปลี่ยนสภาพของอสเทนในที่ต่อกัน

หลังจากการหล่อผ่านการซูบมาแล้วย่อมจะมีความเครียดเหลือค้าง ควรจะต้องทำการอบซูบเพื่อคลายความเครียดเป็นการเพิ่มความเนียน雅ให้กับชิ้นงาน การอบคลายความเครียดจะอบชิ้นงานที่อุณหภูมิประมาณ  $200^{\circ}\text{C}$  ใช้เวลาระหว่าง 4-8 ชั่วโมง ในกรณีที่ชิ้นงานต้องรับแรงกระแทกสูงควรใช้อุณหภูมิอบคลายความเครียดสูงกว่า  $200^{\circ}\text{C}$  ภายหลังที่ชิ้นงานผ่านการอบซูบแล้วควรจะมีความแข็งเพิ่มขึ้นจากสภาพหล่อ  $500-520 \text{ HV}_{10}$  เป็น  $800\text{HV}_{10}$

ในกรณีที่ต้องกลึงหรือตัดเจาะชิ้นงานหล่อภายหลังการเย็นตัวในแบบทราย ซึ่งมีความแข็งสูงดังนั้นจึงจำเป็นต้องทำให้ชิ้นงานอ่อนลงโดยการอบอ่อน (annealing heat treatment) สำหรับเหล็กหล่อโครงเมียมสูงสามารถทำการอบอ่อนได้โดยการอบที่อุณหภูมิ  $950-1010^{\circ}\text{C}$  และปล่อยให้เหล็กเย็นลงช้าๆ ในเตาจนถึงอุณหภูมิประมาณ  $760^{\circ}\text{C}$  แล้วปล่อยให้เหล็กอยู่อุณหภูมนิ่นานประมาณ 10-50 ชั่วโมง จะทำให้คาร์บอนแยกตัวรวมกับโครงเมียมเป็นคาร์ไบด์ ให้เหลือคาร์บอนละลายในอสเทนในทันทีที่สุด เพื่อออสเทนในที่จะได้เปลี่ยนเป็นเฟอร์ไรท์ในช่วงการเย็นตัวสุดท้าย ซึ่งโครงสร้างที่ได้จะเป็นเฟอร์ไรท์โดยมีคาร์ไบด์กระจัดกระจายอยู่ทั่วไป ทำให้สามารถกลึงหรือໄลได้สะดวก

รูปที่ 2.7 แสดงแผนภาพ TTT (time-temperature transformation diagram) ของเหลืออสเทนในที่เกิดจากการหล่อและถูกดีสเตบิลize ซึ่งจะแสดงอุณหภูมิและเวลาในการเกิดโครงสร้างของอสเทนในที่ เฟอร์ไรท์ คาร์ไบด์ทุติยภูมิ ยูเทกติกคาร์ไบด์ และ คาร์ไบด์

ชิ้นงานหล่ออาจได้รับการอบอ่อนก่อนการอบดีสเตบิลайเซ่น เพื่อให้ชิ้นงานมีส่วนผสมที่สม่ำเสมอ ซึ่งทำได้โดยการอบชิ้นงานที่อุณหภูมิ  $740-780^{\circ}\text{C}$  เป็นเวลา 4-8 ชั่วโมง แล้วปล่อยให้ชิ้นงานเย็นตัวในเตา (furnace cooling) จนกระทั่งอุณหภูมิต่ำกว่า  $300^{\circ}\text{C}$  การอบอ่อนจะทำให้ได้เมทริกซ์ที่อ่อน (ความแข็งประมาณ  $350-400\text{HV}$ ) เนื่องจากเมทริกซ์ประกอบด้วยเพรลลิติกคาร์ไบด์และเฟอร์ไรท์ ชิ้นงานในลักษณะนี้จะกดเด่งได้ง่ายและมีความเค้นต่อกันต่ำ ตัวอย่างโครงสร้างจุลภาคของเหล็กหล่อที่มีปริมาณโครงเมียม  $20\%\text{Cr}$  แสดงในรูปที่ 2.8



รูปที่ 2.7 แผนภาพ TTT สำหรับเหล็กหล่อโครงเมียมสูง 2.5%C-20%Cr-1.5%Mo ซึ่งมีโครงสร้างหลังจาก การหล่อเป็นอุสเทนไนท์ เมื่อ A แทนอุสเทนไนท์, F แทนเฟอร์ไรท์, C แทนคาร์บิด



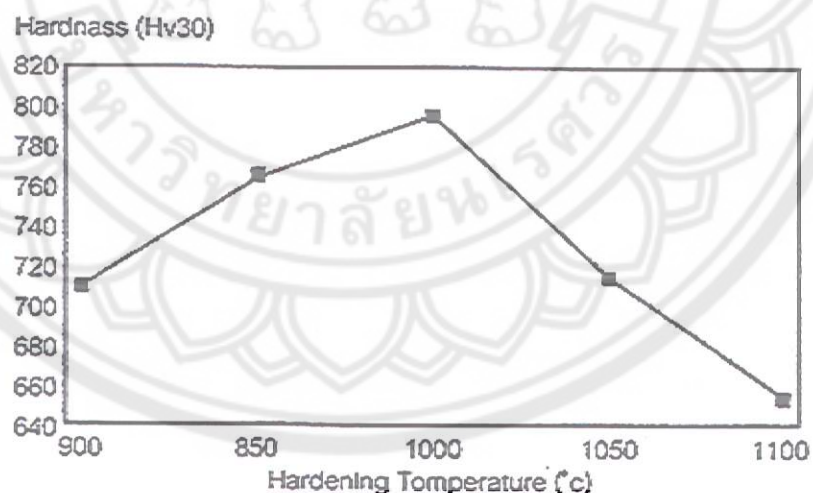
รูปที่ 2.8 โครงสร้างจุลภาคของเหล็กหล่อโครเมียมสูง 2.5wt%Cr-20wt%Cr-1.5wt%Mo หลังการอบที่ อุณหภูมิต่างๆ และปล่อยให้ชิ้นงานเย็นตัวอย่างช้าๆ (ก) อบที่อุณหภูมิ  $750^{\circ}\text{C}$  เป็นเวลา 4 ชั่วโมง ความแข็ง 400 HV (ข) อบที่อุณหภูมิ  $850^{\circ}\text{C}$  เป็นเวลา 4 ชั่วโมง ความแข็ง 390 HV (ค) อบที่อุณหภูมิ  $950^{\circ}\text{C}$  เป็นเวลา 4 ชั่วโมง ความแข็ง 350 HV

โครงสร้างที่ได้รับการเพิ่มความแข็งมักจะมีเฟสօลสเทนในทึกค้าง (retained austenite) ซึ่งจะเกิดการเปลี่ยนเฟสในระหว่างการใช้งาน ทำให้ชิ้นงานเกิดการแตกหัก เพื่อที่จะลดผลเสียข้อนี้ เราสามารถลดปริมาณเฟสօลสเทนในทึกค้างโดยการอบคืนไฟใต้วิกฤติ (sub-critical tempering) ซึ่งเป็นกรรมวิธีการอบซุบเหล็กหล่อโครเมียมสูงอีกวิธีหนึ่ง เพื่อปรับปรุงสมบัติด้านทนการสึกหรอโดยหลัก เลี้ยงการอบซุบที่อุณหภูมิสูงเป็นการลื้นเปลืองพลังงานความร้อน และไม่เสียต่อการแตกร้าวมากนัก แต่ผลที่ได้จะไม่สูงเท่ากับการอบซุบที่อุณหภูมิสูง หลักการจะใช้อุณหภูมิประมาณ  $500^{\circ}\text{C}$  อบชิ้นงาน หล่อภาຍหลังจากที่เย็นตัวในแบบทรายแล้ว จะทำให้อลสเทนในทึกค้างบางส่วนที่เกิดจากเย็นตัวในแบบทรายเปลี่ยนเป็น

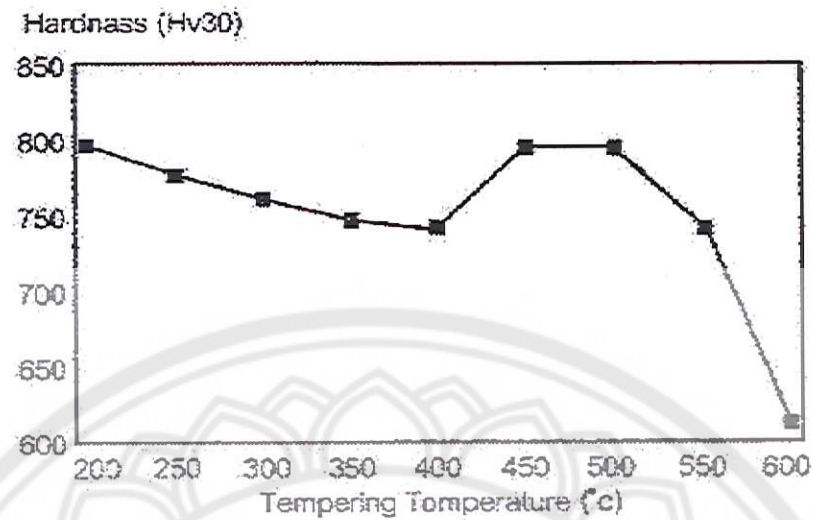
มาร์ก์เทนไซท์ เมื่อปล่อยให้เหล็กเย็นตัวลงมาจนถึงอุณหภูมิห้อง จะทำให้เหล็กมีความแข็งสูงขึ้นเล็กน้อย ภายหลังการอบเทมเพอร์รึการอบคืนไฟจะได้ความแข็งประมาณ  $709 \text{ HV}_{30}$  และเหล็กจะมีความเหนียวสูงขึ้น การอบคืนไฟจะได้ผลดีเฉพาะกับเหล็กหล่อโครเมียม-โมลิบดินัม ซึ่งนิยมใช้มากในอุตสาหกรรมทำลูกรีดเหล็กขนาดใหญ่ และจะทำให้เหล็กจากการอบเพื่อเพิ่มความแข็ง

การอบคืนไฟเป็นขั้นตอนการอบงานที่ผ่านการอบชุบแข็งมาแล้วที่อุณหภูมิต่ำ ด้วยเวลาต่างๆ ตามความเหมาะสมและคุณสมบัติที่ต้องการ การเปลี่ยนแปลงของเหล็กชุบเพื่อให้มีเสถียรภาพสูงขึ้นอาศัยขั้นตอนการแพร่ร้อนหรือแทรกซึม ดังนั้นอัตราการเปลี่ยนแปลงจึงขึ้นอยู่กับอุณหภูมิอบ ขณะอบ คืนไฟมาร์ก์เทนไซท์บางส่วนจะแตกตัวเป็นของผุส่วนหัวร้าวเฟอร์ไวท์และซีเมนไทท์ และมีผลต่อคุณสมบัติของงานอย่างรุนแรง เมื่ออบคืนไฟที่อุณหภูมิต่ำ ( $200-250^\circ\text{C}$ ) ความแข็งจะลดลงเล็กน้อย ส่วนความแข็งแรงต่อแรงดึงและแรงบิดจะเพิ่มขึ้น ทั้งนี้เนื่องจากคาร์บอนแยกตัวออกจากโครงสร้างผลึกมาร์ก์เทนไซท์ ความเด่นลดลง ความหน่วงต่อแรงกระแทกจะเปลี่ยนแปลงในลักษณะที่แตกต่างจากคุณสมบัติด้านอื่น เช่น เมื่ออบคืนไฟที่  $250-400^\circ\text{C}$  จะลดความหน่วงต่อแรงกระแทก เนื่องมาจากคาร์บไบด์ตกผลึกจากมาร์ก์เทนไซท์ ขณะอบคืนไฟและการแตกตัวของออกซิเจนในท่อหลังเหลือ ดังนั้นจึงไม่ควรอบคืนไฟที่อุณหภูมิ  $250-400^\circ\text{C}$

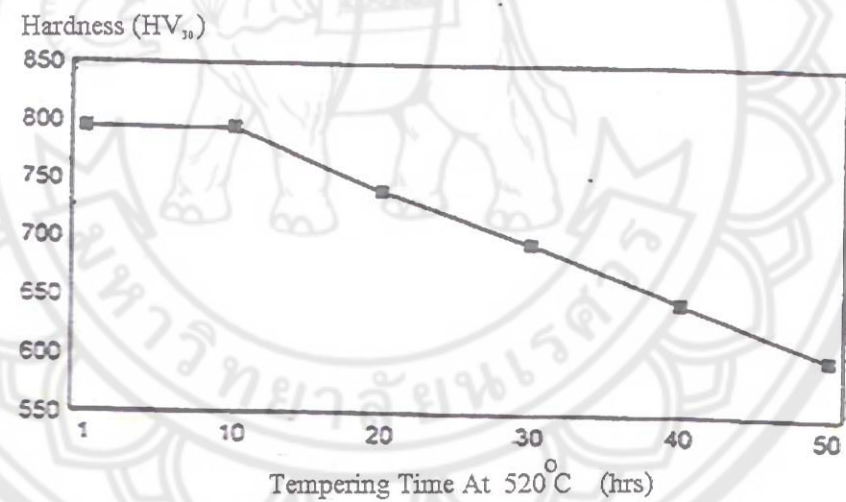
ผลของอุณหภูมิในการอบดีสเตบิไลเซชันและอบคืนไฟต่อความแข็งของเหล็กหล่อโครเมียมสูง แสดงในรูปที่ 2.9 ถึง 2.11



รูปที่ 2.9 ผลของอุณหภูมิในการอบดีสเตบิไลเซชันต่อค่าความแข็งของเหล็กหล่อ  $2\text{wt\%C}-20\text{wt\%Cr}-1.7\text{wt\%Mo}$



รูปที่ 2.10 ผลของอุณหภูมิในการอบคืนไฟ (tempering temperature) ต่อค่าความแข็งของเหล็กหล่อ 2wt%C-20wt%Cr-1.7wt%Mo



รูปที่ 2.11 ผลของเวลาในการอบคืนไฟ (tempering time) ที่อุณหภูมิ 520°C ต่อค่าความแข็งของเหล็กหล่อ 2wt%C-20wt%Cr-1.7wt%Mo

ชิ้นส่วนหนาต่อการลีกหรอมักจะต้องได้รับการกัดแต่งผิว เพื่อให้สามารถประกอบเข้ากับชิ้นส่วนอื่นๆ ได้อย่างถูกต้อง ในอดีตสำหรับเหล็กที่ผ่านการซูบแข็งมาแล้วได้ใช้การเจียร์ใน (grinding) ซึ่งเป็นกระบวนการที่แพงและซ้ำ หรือใช้การกัดแต่งด้วยเครื่องมือ สำหรับเหล็กที่ผ่านการอบอ่อนจนกระหั่ง่อน พอกสมควรแล้ว แต่ในปัจจุบันได้มีการใช้วัสดุกัดแต่งที่ทำจากบอรอนไนโตรดีเบบลูกบาร์ค์ (cubic boron nitride, CBN) ซึ่งสามารถใช้ในการกัด (milling) และการกลึง (turning) วัสดุที่แข็งมากๆ ได้ เมื่อการใช้ CBN จะทำให้ค่าใช้จ่ายเริ่มต้นสูงขึ้นก็ตาม แต่เมื่อมองในภาพรวมแล้วจะช่วยลดค่าใช้จ่ายเกี่ยวกับการกัดแต่งและเพิ่มอัตราการผลิตให้สูงขึ้นอย่างมาก

กระบวนการอบซูบทุกชิ้นตอนจะต้องได้รับความคุมอย่างระมัดระวังเพื่อให้ได้ชิ้นงานที่ไม่มีรอยแตกหรือความเดี้นตกด้าน ชิ้นงานหล่อจะต้องใส่ไปในเตาที่เย็น (อุณหภูมิต่ำกว่า  $200^{\circ}\text{C}$ ) และสำหรับชิ้นงานหล่อในถุงหรือมีรูปร่างซับซ้อน เราจำเป็นต้องควบคุมอัตราการเพิ่มอุณหภูมิเพื่อให้ชิ้นงานได้รับความร้อนอย่างสม่ำเสมอเท่ากันทุกจุด

ในการปล่อยให้ชิ้นงานเย็นตัวในอากาศเพื่อเพิ่มความแข็งแรง เราอาจใช้พัดลมเป่าเพื่อช่วยเร่งให้ชิ้นงานเย็นเร็วขึ้นได้ แต่ต้องระวังให้ทุกส่วนของชิ้นงานเย็นด้วยอัตราเร็วที่ใกล้เคียงที่สุดเพื่อลดการเสียหาย โดยจะมีการใช้การอบคืนไฟเพียงครั้งเดียวหรือสองครั้งเพื่อลดปริมาณออกซิเจนในท่อตากด้านให้ต่ำกว่า 5-10% เพื่อลดการหลุดล่อนของผิวชิ้นงานที่เกิดจากการเปลี่ยนเฟล ซึ่งอาจเกิดขึ้นในระหว่างการใช้งานที่ต้องรับแรงกระแทก แรงดังกล่าวจะทำให้ออกซิเจนในท่อตากด้านที่ผิวของชิ้นงานเปลี่ยนไปเป็นมาร์เทนไซท์ที่เกิดจากความเดี้น (stress induced martensite) ซึ่งในการเปลี่ยนเฟสนี้ ปริมาณของผิวจะขยายตัวประมาณ 4% ทำให้บริเวณดังกล่าวมีโอกาสที่จะเกิดการหลุดล่อนได้ง่าย ตัวอย่างเช่น ลูกบดที่ไม่ได้รับการซูบอย่างถูกต้อง อาจมีผิวที่เกิดการเปลี่ยนเฟลได้ลึกถึง 5 mm และผิวอาจหลุดออกมากได้หนาถึง 2 mm เป็นต้น ดังนั้น การควบคุมคุณภาพของการอบซูบสามารถทำโดยการตรวจสอบความแข็งและปริมาณออกซิเจนในท่อตากด้านซึ่งอาจจะใช้เทคนิคเอกซ์เรย์ดิฟแฟรนซ์ ข้อมูลจากเทคนิคนี้ สามารถใช้ในการสอบเทียบเครื่องมือวัดสภาพแม่เหล็กในการตรวจสอบคุณภาพของชิ้นงาน

การควบคุมส่วนผสมทางเคมีนั้นมีความจำเป็นอย่างยิ่งเพื่อให้ชิ้นส่วนความหนาต่างๆ มีความสามารถในการซูบแข็งได้เพียงพอ อย่างไรก็ตาม การเติมธาตุผสมบางอย่างมากเกินไป (over alloying) เช่น Mo, Cu, Mn หรือ Ni จะทำให้ระยะเวลาในการทำดีสเตรบิไลเซชันสูงขึ้น และทำให้ปริมาณออกซิเจนในท่อตากด้านสูงขึ้น ซึ่งจะทำให้สมรรถนะด้านความต้านทานการลีกหรือด้อยลง สำหรับการเติมธาตุผสมน้อยเกินไป (under alloying) อาจทำให้เกิดเพรลไลท์ทึบในชิ้นงานที่ผ่านการอบซูบ หรือชิ้นงานหล่อที่ต้องการให้มีเมทริกซ์แบบออกซิเจนนิติก ถ้าหากมีการควบคุมส่วนผสมและการอบซูบอย่างถูกต้องแล้วเราสามารถผลิตชิ้นงานคุณภาพดีมีความหนาได้มากถึง 300mm และมีน้ำหนักกว่า 2,000kg

ແຜ່ມຸນເກີ້ວກັບກາຮອບຊູບໃນທາງປົວັດ

ชุดอุปกรณ์สำหรับการรอบซูบเหล็กหล่อโครงเมียมสูง ประกอบด้วยเตาแบบซูดชนิดใช้แก๊สจุดไฟ รถเลื่อนขนวัสดุเข้าเตา และเชมเบอร์สำหรับทำการซูบด้วยอากาศเป่าพ่น เตาที่มีขนาดประมาณ 5m กว้าง x 5m ยาว x 2m สูง จะสามารถใช้รอบซูบโลหะหนักรวม 12 ตัน

ที่อุณหภูมิต่ำกว่า  $1050^{\circ}\text{C}$  จะไม่มีปัญหาเกี่ยวกับออกซิเดชันและการเกิดสะเก็ด แต่ถ้าหากอุณหภูมิสูงกว่านี้ เรายาดีต้องใช้เตาควบคุมบรรจุภัณฑ์ที่ใช้แก๊สเชื้อเพลิงหรือเตาสูญญากาศ อุณหภูมิ และความสม่ำเสมอของอุณหภูมิภายในเตาจะต้องได้รับการควบคุมอย่างถูกต้องตามที่ได้ตั้งไว้ และจะมีการใช้รถเลื่อนในการขนถ่ายชิ้นงานอย่างรวดเร็วไปยังแพลตฟอร์มสำหรับทำการซับด้วยอากาศเป่าพ่นซึ่งมีมาร์จัดเตรียมการทำชิ้นงานเย็นโดยการใช้ห่อ จุดวางที่ต่ำแห่งหนึ่งอีกส่วนในเตาและในเตาเผา รวมทั้งจะมีการเลือกพัดลมเพื่อช่วยในการเย็นตัวของชิ้นงานตามความ สามารถในการซับเย็นได้และตามความหนาของชิ้นงานเหล็กหล่อ

ในระหว่างการตัดแต่งซึ่งงานหล่อซึ่งเป็นการตัดส่วนเกินต่างๆ เช่น รูลั่น (rever) และฟีดเดอร์ (feeder) ออกจากซึ่งงานนั้น เจ้าต้องระวังไม่ให้ซึ่งงานร้อนมากเกินไปและหลีกเลี่ยงการทำให้เกิดรอยแตกร้าวอันเนื่องมาจากการเจียระไนในบริเวณที่ทำการตัด ทั้งนี้เนื่องจากรอยแตกร้าวสามารถขยายขนาดได้ในระหว่างการอบชุบ ทั้งนี้อาจจะต้องมีการตรวจสอบรอยแตกในระหว่างกระบวนการ และอาจต้องใช้กระบวนการการตัดแต่งซึ่งงานแบบ 2 ชั้น โดยทำการตัดแต่งผิวสำเร็จจากการอบชุบ

การตรวจสอบความเข็งเป็นขั้นตอนลำดับๆ ในกระบวนการควบคุมคุณภาพชิ้นงานเหล็กหล่อโครงเมียนสูง ซึ่งสามารถทำได้โดยการใช้อุปกรณ์ทดสอบความเข็งแบบแรงกระแทกชนิดพกพาได้และมีหน้าปัดอ่านค่าแบบดิจิตอล โดยอุปกรณ์นี้ควรได้รับการสอบเทียบกับชิ้นงานทดสอบ จากการผลิตซึ่งได้รับการอบรมจนมีความเข็งในช่วงที่ต้องการหน่วยที่ใช้อาจเป็นสเกลร์อกเวลล์ หรือวิกเกอร์

#### 2.8 ความต้านทานการสึกหรอ [1,3-4,7,13]

การลีกหรือเป็นกระบวนการการสูญเสียเนื้อของวัสดุ อันเนื่องมาจากการล้มผัลกันของวัสดุที่มีพิษหน้า  
แข็ง 2 ชนิด ซึ่งการลีกหรือจะเกิดขึ้นเมื่อพิษหน้าของแข็งดังกล่าวเคลื่อนที่ผ่าน หรือหมุนม้วนผ่านอีก  
ชั้นหนึ่งหรือเคลื่อนที่ผ่านซึ่งกันและกันโดยจะเกิดอย่างต่อเนื่องและคงที่ ซึ่งกลไกการเกิดยาดต่อการอธิบาย  
การจำแนกชนิดการลีกหรอนั้นมีหลายวิธี เช่น การจำแนกตามลักษณะการใช้งาน คือ dry wear เป็นการ  
ลีกหรอที่เกิดขึ้นโดยไม่มีสารหล่อลื่น เช่น น้ำ น้ำมัน เข้ามามีส่วนร่วมในกระบวนการการลีกหร และ wet wear  
เป็นการลีกหรอที่เกิดขึ้นโดยมีสารหล่อลื่นเข้ามามีส่วนร่วมในกระบวนการการลีกหรอ อุปกรณ์ที่มักเกิดการ  
ลีกหรอ ได้แก่ ปั๊มสูบสารเหลว (slurry pump) ลูกบด (ball mill) ใบพัดไอ้น้ำ (turbine) ความเสียหาย

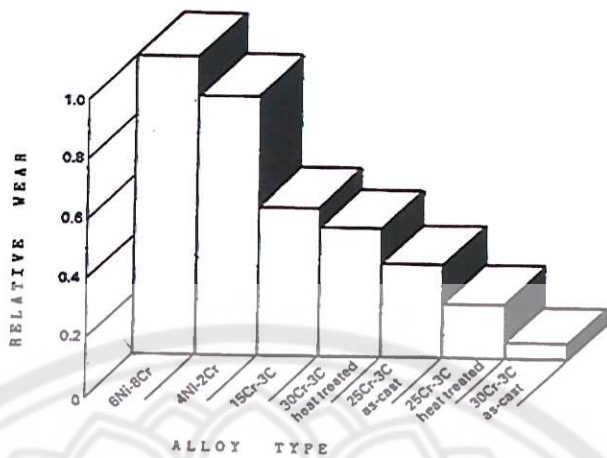
ขึ้นกับระดับความแรงที่ได้รับและชนิดของโลหะที่นำมาใช้ รวมทั้งสภาพแวดล้อมที่อุปกรณ์นั้นตั้งอยู่ นอกจากปัญหาด้านการสึกหรอแล้ว หากในระบบที่ใช้งานมีน้ำหรือสารละลายเข้ามาเกี่ยวข้อง อาจเป็นสาเหตุให้เกิดการกัดกร่อนร่วมด้วย เช่น การกัดกร่อนจากการกัดเซาะ (erosion corrosion) ซึ่งเป็นการกัดกร่อนที่เกิดจากการไหลที่ทำให้เกิดแรงและทำให้โลหะที่ได้รับแรงนั้นมีผิวน้ำที่เป็นร่อง หรือเป็นคลื่นรวมทั้งมีการกัดกร่อนแบบรูเข้มร่วมด้วย อันเนื่องจากการที่ฟิล์มป้องกันถูกทำลาย จึงมีแนวโน้มที่จะถูกกัดเซาะมากขึ้น โดยทั่วไปโลหะที่มีความแข็งสูงมากจะทนได้ดีกับการกัดเซาะ เช่น เหล็กหล่อโครงเมียมสูง เหล็กหล่อผสมนิกเกิล

ความทานทานต่อการสึกหรอและความต้านทานการแตกหัก (fracture toughness) ของเหล็กหล่อโครงเมียมสูงขึ้นอยู่กับ ชนิด รูปร่าง และลักษณะของเฟสยูเทกติการ์บีดที่มีความแข็งสูง และคาร์บีดที่ตกละกอนในโครงสร้าง การกระจัดกระจายของโครงเมียมคาร์บีด ยิ่งมีการกระจัดกระจายอย่างสม่ำเสมอ ความต้านทานต่อการสึกหรอของเหล็กจะยิ่งสูงขึ้น รวมทั้งการมีโครงสร้างเมทริกซ์ที่เหมาะสมที่จะช่วยรองรับเฟสยูเทกติการ์บีดในขณะใช้งาน แต่ถ้าถูกห่อหุ้มด้วยโครงสร้างพื้นที่ไม่มีความแข็ง เช่น เพอร์ไอล์ฟ หรือเพริลิต ในขณะใช้งานโครงสร้างพื้นจะถูกทำให้สึกหรอไปได้อย่างรวดเร็ว ทำให้โครงเมียมคาร์บีดหลุดตามไปด้วย ความสามารถต้านทานต่อการสึกหรอของเหล็กจะลดลง ในกรณีเช่นนี้ โครงสร้างพื้นของเหล็กที่ห่อหุ้มโครงเมียมคาร์บีดจะต้องมีความแข็งสูง คือ ควรจะเป็นมาร์ก滕ไซด์หรือเป็นไนท์หรืออาจจะเป็นออกซิเจนไนท์เหลือค้าง อย่างไรก็ตามเหล็กหล่อกลุ่มนี้สามารถใช้งานในสภาวะหลังการหล่อที่มีโครงสร้างเมทริกซ์เป็นออกซิเจนไนท์มีสมบัติพิเศษ คือ สามารถเพิ่มความแข็งเมื่อได้รับแรงกระทำ (work harden) ในระหว่างการใช้งาน ทำให้ชิ้นงานมีผิวที่ทนต่อการสึกหรอเกิดขึ้นทดแทนผิวที่เสียไปได้เอง (self-replacing wear resistant surface) หรือเกิดการเปลี่ยนแปลงโครงสร้างจากออกซิเจนไนท์เป็นมาร์ก滕ไซด์ เช่นเดียวกับลักษณะของ work hardening ที่เกิดในเหล็กกล้าแมงกานีสสูง แต่ก็ยังประสบปัญหานี้อย่างมากในโครงสร้างของออกซิเจนไนท์มีความต้านทานการสึกหรอดีมาก การปรับปรุงความต้านทานการสึกหรอ และความต้านทานการแตกหัก สามารถทำได้โดยกระบวนการอบซุบทางความร้อนที่เหมาะสมเพื่อให้ได้โครงสร้างเมทริกซ์เป็นมาเกนไซด์ที่มีสมบัติทั้งแข็งและเหนียว ทำให้ความต้านทานต่อการขัดถูสูงสุด นอกจากนี้การเติมธาตุ (alloying element) เช่น โมลิบดีนัม วานเดียลม และทังส텐 เป็นอีกวิธีหนึ่งในการปรับปรุงสมบัติ โดยทำให้เกิดการตกตะกอนของคาร์บีดเข็มในเมทริกซ์ โดยไม่ต้องผ่านกระบวนการอบซุบทางความร้อน เป็นผลให้ความต้านทานการสึกหรอสูงขึ้น

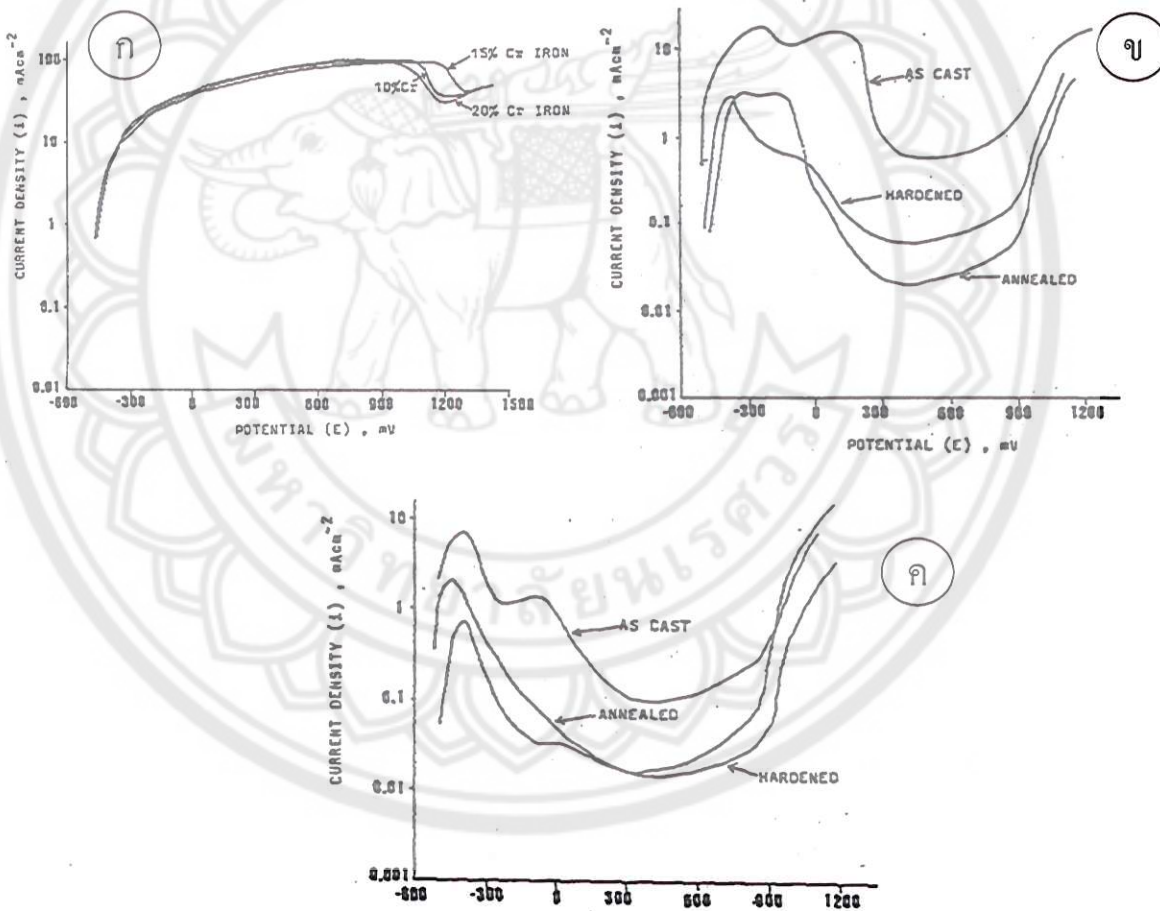
## 2.9 ความต้านทานการกัดกร่อน [1,11-14]

โดยทั่วไปเหล็กหล่อหรือเหล็กกล้าที่มีปริมาณโครเมียมในเมทริกซ์มากกว่า 12wt% จะเกิดฟิล์มของ  $\text{Cr}_2\text{O}_3$  มาปิดคลุมผิวหน้า ทำให้ความต้านทานการกัดกร่อน (corrosion resistance) ดีขึ้น แต่สำหรับเหล็กหล่อโครเมียมสูงจะต้องมีปริมาณของโครเมียมในเมทริกซ์มากกว่า 14wt% เนื่องจากหลังการเข็งตัว ปริมาณของโครเมียมบริเวณที่อยู่รอบๆ คาร์บีดจะมีปริมาณโครเมียมและคาร์บอนต่ำ เช่นเดียวกับการอบดีสเตบิไลเซชันซึ่งทำให้เกิดคาร์บีดทุติยภูมิ และเป็นผลให้ปริมาณโครเมียมในเมทริกซ์ลดลง ซึ่งพบว่าเมื่อปริมาณโครเมียมสูงขึ้น ความต้านทานการกัดกร่อนจะสูงขึ้น เนื่องจากเกิดสภาพแอกทีฟ-แพสซีฟ (active-passive transition)

ในอุดสาหกรรมที่เกี่ยวข้องกับแร่และปิ๊มของเหลวขั้นซึ่งใช้งานที่มีทั้งการลีกหรือและการกัดกร่อน รูปที่ 2.12 เปรียบเทียบความต้านทานการกัดกร่อนในสารละลายกรด จะเห็นว่าเหล็กหล่อ 28-30wt%Cr จะมีความต้านทานการลีกหรือและการกัดกร่อนดีที่สุด รูปที่ 2.13 เปรียบเทียบเล่นดึงโพลาไลเซชันของเหล็กหล่อที่มีโครเมียมต่ำกว่า 25wt%Cr จะเกิดสภาพแอกทีฟ-แพสซีฟเล็กน้อย เนื่องจากมีปริมาณโครเมียมในเมทริกซ์ไม่เพียงพอ ส่วนเหล็กหล่อที่มีโครเมียม 25wt%Cr และ 30wt%Cr ในสภาพหล่อ จะเกิดการกัดกร่อนมากกว่าหลังการอบซึ่งทางความร้อน เนื่องจากบริเวณออกซิเจนในที่ที่อยู่ใกล้กับบัญเทกติการ์บีดมีปริมาณโครเมียมต่ำ ทำให้เกิดการกัดกร่อนขึ้นรอบๆ บัญเทกติการ์บีด หลังการอบซึ่งจะทำให้โครเมียมมีการกระจายตัวดีขึ้นโดยเฉพาะบริเวณรอบๆ บัญเทกติการ์บีด เป็นผลให้การกัดกร่อนลดลง ในเหล็กหล่อที่มีโครเมียม 35wt%Cr จะเกิดสภาพแอกทีฟ-แพสซีฟได้ง่ายกว่า อย่างไรก็ตามเหล็กหล่อนี้มีโครงสร้างเป็นเฟอร์ไรท์ซึ่งมีความต้านทานการลีกหรือต่ำ สำหรับเหล็กหล่อที่มีส่วนผสม 30wt%Cr และ 2.4-2.9wt%C จะมีความต้านทานการกัดกร่อนและการลีกหรือแบบกัดเซาะดีที่สุด นอกจากนี้การเติมไมลิบดินั่บจะทำให้ความต้านทานการกัดกร่อนดีขึ้น เนื่องจากไมลิบดินั่มจะเข้าไปแทนที่โครเมียมเพื่อให้เกิดคาร์บีด ทำให้เหลือปริมาณโครเมียมในเมทริกซ์มากขึ้น



รูปที่ 2.12 เปรียบเทียบความต้านทานการกัดกร่อนและการสึก蝕ของแบบกัดเชาะ



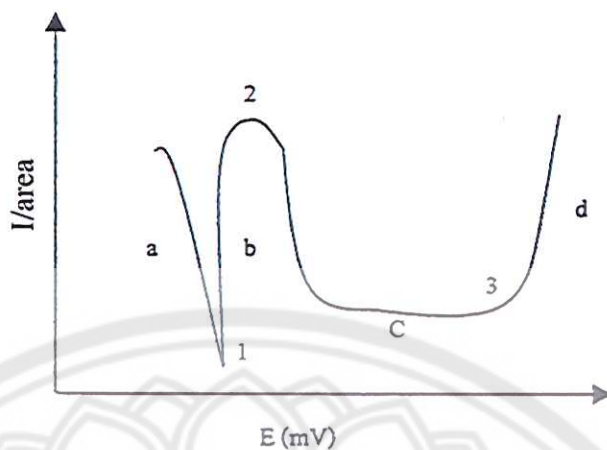
รูปที่ 2.13 เส้นโค้งอาโนดิกโพลาไลเซชันของเหล็กหล่อในสารละลายน้ำมัน (ก) เหล็กหล่อ 10wt%, 15wt% และ 20wt% ในสภาพหล่อ (ข) เหล็กหล่อ 25wt% ในสภาพหล่อ (ค) เหล็กหล่อ 30wt%Cr ในสภาพหล่อและหังการอบซุบ

ความต้านทานการกัดกร่อนทดสอบโดยวิธีการทางไฟฟ้า-เคมี (electrochemical corrosion study) เพื่อศึกษาลักษณะเฉพาะของแอนodic polarization characteristics โดยใช้เทคนิคโพเทนทิโอดามิกส์ (potentiodynamic) ซึ่งเป็นเทคนิคที่ระบบเซลล์ 3 ชั้น ใน การตรวจสอบ ระบบเซลล์ 3 ชั้น ประกอบด้วย ชั้นทำงาน (working electrode, WE) หรือชิ้นงานที่ต้องการทดสอบ ชั้นอ้างอิง (reference electrode) และชั้นให้พลังงาน (counter electrode) เพื่อเร่งให้เกิดการกัดกร่อน โดยล้วงผ่านอุปกรณ์ที่ควบคุมที่เรียกว่า เครื่อง Potentiostat โดยจะป้อนศักยไฟฟ้าบวก แล้ววัดการเปลี่ยนแปลงของกระแสไฟฟ้าที่เกิดขึ้น โดยจะป้อนศักยไฟฟ้าบวกเพิ่มขึ้นเรื่อยๆ จากสภาพโลหะที่ยังไม่ถูกกัดกร่อน (cathodic polarization) จะกระทำการเพิ่มป้อนศักยไฟฟ้าบวกถึงค่าหนึ่งโดยจะถูกกัดกร่อน (anodic polarization) ถ้าหากโลหะนั้นสามารถสร้างพิล์มบางปักป้องก็จะทำให้ระดับกระแสไฟฟ้าลดลงเปลี่ยนแปลงไปตามพฤติกรรมของพิล์มบางนั้น ผลการทดสอบจะแสดงเป็นกราฟความล้มพันธ์ระหว่างกระแสไฟฟ้ากับศักยไฟฟ้าหรือเรียกว่ากราฟโพลาไรเซชัน (polarization curve) ดังแสดงในรูปที่ 2.14 การอ่านและแปลความจากกราฟโพลาไรเซชันด้วยเทคนิคโพเทนทิโอดามิกส์ สำหรับโลหะที่มีพิล์มบางปักป้อง คือ

เส้นโค้ง a เป็นเส้นโค้งที่เกิดจากการป้อนศักยไฟฟ้าก่อนเกิดการกัดกร่อน หรือส่วนของกราฟแคโนดิกโพลาไรเซชัน

เส้นโค้ง b เป็นเส้นโค้งที่เกิดจากการป้อนศักยไฟฟ้าผ่านศักยไฟฟ้าของการกัดกร่อน ( $E_{corr}$ ) หรือในจุดที่ 1 และเรียกเส้นโค้งนี้ว่าส่วนของกราฟอาโนดิกโพลาไรเซชัน และแสดงค่ากระแสสูงสุดก่อนการเกิดพิล์มบางปักกัน ( $I_{corr}$ ) หรือในจุดที่ 2 ซึ่งให้ข้อมูลของความรวดเร็วในการเกิดพิล์มบางปักกันได้คือ ค่ากระแสสูง แสดงว่ามีการสร้างพิล์มที่ช้า แต่ถ้ามีค่ากระแสต่ำ แสดงว่ามีการสร้างพิล์มที่เร็ว

เส้นตรง c เป็นเส้นตรงที่เกิดจากการปักป้องกันที่ให้ความต้านทานการกัดกร่อนและให้กระแสคงที่ ( $I_{pass}$ ) จนไม่สามารถค่าศักยสูงสุด ( $E_{corr}$ ) ได้ หรือในจุดที่ 3 พิล์มบางปักกันจะถูกทำลาย และเข้าสู่เส้นโค้ง d ซึ่งเรียกช่วงนี้ว่า Transpassive ซึ่งกระแสจะเพิ่มขึ้นอย่างรวดเร็ว และว่าโลหะนั้นจะเกิดการกัดกร่อนอย่างรวดเร็วอีกครั้งหนึ่ง



รูปที่ 2.14 กราฟแสดงความล้มเหลวระหว่างกระแสไฟฟ้ากับศักย์ไฟฟ้า

## 2.10 การใช้งานของเหล็กหล่อโครงเมียมสูง [1,3-4,7,15]

เหล็กหล่อโครงเมียมสูง มีการใช้งานอย่างกว้างขวางในงานที่ต้องการความทนทานต่อการลึกหรอแบบขัดดู (abrasive wear) เช่น ในกระบวนการรบดินแล้ว การบดถ่านหินเป็นผง การผลิตซีเมนต์ และการปั้นของเหลวขัน ชิ้นส่วนหรือผลิตภัณฑ์ที่ทำจากเหล็กหล่อกลุ่มนี้มีหลายขนาดตั้งแต่ลูกบดขนาดเล็กๆ ไปจนถึงชิ้นส่วนขนาดใหญ่ เช่น รางลูกกลิ้งสำหรับเดินผงและชิ้นส่วนของลูกกลิ้ง

ในการใช้งานหลายประเภท เหล็กหล่อกลุ่มนี้จะต้องมีความต้านทานต่อการลึกหรอแบบขัดดูและความต้านทานต่อการแตกหักสูงเพียงพอเพื่อป้องกันไม่ให้ชิ้นงานแตกหัก เมื่อได้รับแรงกระแทก แต่ในบางกรณีเหล็กหล่อจะต้องมีความต้านทานต่อการลึกหรอและการกัดกร่อนร่วมกัน ในระยะเวลาหลายปีที่ผ่านมา เหล็กหล่อโครงเมียมสูงมีแนวโน้มที่แทนที่เหล็กหล่อนิกเกิลและโครงเมียมแบบมาร์เกนซิติก เนื่องจากเหล็กหล่อโครงเมียมสูงสามารถทนต่อการแตกหัก การลึกหรอรวมทั้งการกัดกร่อนได้ดีกว่า และในหลายกรณีเหล็กหล่อโครงเมียมสูงได้รับการเลือกใช้งานแทนที่เหล็กกล้าที่ต่อการลึกหรอ

ตัวอย่างชิ้นงานเหล็กหล่อโครงเมียมสูง

1) ตัวถังปั๊มแบบหอยโolson (centrifugal pump casing)

ชิ้นส่วนนี้มักได้รับการระบุให้ผลิตโดยใช้เหล็กหล่อ 3wt% C และ 25wt%Cr ตามมาตรฐาน BS 4844: 1986 Grade 3E ดังแสดงในตารางที่ 2.1 ทั้งในสภาพชิ้นงานหล่อหรือชิ้นงานที่ผ่านการอบชุบ

แม้ว่าตัวถังปั๊มแบบหอยโolsonจะมีลักษณะรูปร่างที่ค่อนข้างซับซ้อนก็ตาม ดังแสดงในรูปที่ 2.15 แต่ความหนาของบิวต์ต่างๆ ส่วนใหญ่จะมีค่าใกล้เคียงกันประมาณ 50 มิลลิเมตร ทำให้การอบชุบ

ทำได้ไม่ยากนักเนื่องจากชิ้นงานหนาไม่มาก อีกทั้งลักษณะรูปร่างของชิ้นงานยังทำให้อากาศไหล เสียงได้อย่างสะดวกในระหว่างการซูบโดยใช้ลมพ่นเป่า



13 JUL 2011

5638513

2 TP  
245  
105  
05555  
2559

รูปที่ 2.15 ตัวถังปั๊มแบบหอยโข่งสำหรับการขันถ่ายน้ำดิน ตัวบ้มมีรัศมีภายนอก 1 เมตร และมีน้ำหนัก 350 กิโลกรัม

## 2) ล้อลากกลึง (roller tyres)

ล้อลูกกลิ้งเป็นอุปกรณ์ซึ่งใช้ในการบดถ่ายหรือหินปูนในไม่แบบแกนแนวตั้ง (vertical spindle mills) ชิ้นงานนี้อาจมีเลี้นผ่านศูนย์กลางภายนอกได้ตั้งแต่ 1-4 เมตร สูง 0.75-1.25 เมตร และหนาได้ถึง 0.35 เมตร ดังแสดงในรูปที่ 2.16

ล้อลูกกลิ้งมักจะทำจากเหล็กหล่อ 2-2.5wt% C และ 20wt%Cr ตามมาตรฐาน BS4844 เกรด 3C ที่ผ่านการซุบมาแล้ว และในทำนองเดียวกับตัวถังของปืน ระดับความยากของการอบชุบทองอย่างมีประสิทธิภาพจะเพิ่มขึ้นตามขนาดของชิ้นงาน อัตราการเพิ่มอุณหภูมิจะควบคุมตามขนาดของชิ้นงาน นอกจากนี้ ชิ้นงานขนาดใหญ่จะต้องการระยะเวลาในการทิ้งไว้ในเตา ก่อนถึงอุณหภูมิเดิสเตรบิไลเซชัน การปล่อยให้เย็นตัวในอากาศจะต้องเป็นไปอย่างสม่ำเสมอเพื่อลดความแตกต่างของอุณหภูมิระหว่างบริเวณต่างๆ

ภายในเนื้อชิ้นงานต่อจากภาพพ่นเป้าด้วยอากาศ ในขณะที่ความร้อนส่วนสุดท้ายที่หลงเหลืออยู่กำลังจะหมดไปนั้นจำเป็นอย่างยิ่งที่จะต้องหลีกเลี่ยง “อากาศเย็น” เนื่องจากชิ้นงานหล่อมีความเสี่ยงต่อการแตกร้าวสูงสุดในช่วงนี้ การอบคีนไฟจะต้องทำหลังจากชิ้นงานหล่อเม็ดอุณหภูมิถึงอุณหภูมิโดยรอบทั่วเท่ากันทุกส่วน และเช่นเดียวกับเหล็กผสมทุกชนิด อุณหภูมิในการอบคีนไฟที่เหมาะสมที่สุดจะชี้แจงอยู่กับส่วนผสมทางเคมีและค่าความแข็งสุดท้ายที่ต้องการ



รูปที่ 2.16 ล้อลูกกลิ้งสำหรับใช้ในการบดหินในอุตสาหกรรมเหมืองแร่ มีน้ำหนัก 4500 กิโลกรัม

## 2.11 งานวิจัยที่เกี่ยวข้อง

นับตั้งแต่อดีตจนถึงปัจจุบัน งานวิจัยส่วนใหญ่มักจะมุ่งเน้นไปที่เหล็กหล่อโครงเมียมสูงที่มีส่วนผสม 15-20wt%Cr ที่มีการใช้งานอย่างกว้างขวาง ในสภาวะที่มีการลีกหรือในสภาพแห้ง (dry wear) อย่างไรก็ตาม ใน การโมลินแร่แบบเปียก (wet grinding of ores) และการปั๊มน้ำดิน (slurry pumping) นั้น ชิ้นส่วนที่ต้องทนต่อการลีกหรือจะต้องทำงานในสภาพที่มีน้ำ (wet wear) ดังนั้น ความเสียหายที่เกิดขึ้นเป็นผลร่วมระหว่างการกัดกร่อนและการขัดถู ในปี ค.ศ.1985 Pearce [18] ได้ศึกษาการลีกหรือของเหล็กหล่อ 30wt%Cr ภายใต้สภาวะที่มีเฉพาะการลีกหรือ พบร่วมความแข็งหลังการอบดีสเตบีไลเซ็นสูงขึ้น แต่ความต้านทานการลีกหรือเพิ่มขึ้นเพียงเล็กน้อย Laird และคณะ [11] รายงานว่าภายใต้สภาวะที่มีทึ้งการลีกหรือและการกัดกร่อน เหล็กหล่อที่มีส่วนผสม 30wt%Cr หลังการหล่อจะมีความต้านทานการลีกหรือสูงกว่าเหล็กหล่อ 25wt%Cr ทั้งสภาพหลังการหล่อและหลังการอบดีสเตบีไลเซ็น ส่วนเหล็กหล่อ 30wt%Cr หลังการอบดีสเตบีไลเซ็นจะมีความต้านทานต่ำที่สุด ในปี ค.ศ.1989 Pearce และคณะ [19] ได้ศึกษาลักษณะเฉพาะของเอนดิคโพลาร์ไซต์ (anodic polarisation characteristics) ของเหล็กหล่อ 25wt%Cr และ 30wt%Cr ภายใต้สภาวะที่ไม่มีการลีกหรือ พบร่วมเหล็กหล่อที่มีส่วนผสม 30wt%Cr จะมีความต้านทานการกัดกร่อนต่ำกว่าเหล็กหล่อ 25wt%Cr นอกจากนี้ยังพบว่าเหล็กหล่อทั้งสองมีความต้านทานการกัดกร่อนสูงขึ้นหลังการอบดีสเตบีไลเซ็น

## บทที่ 3

### วิธีการทดลอง

#### 3.1 วัสดุดิบและส่วนผสมทางเคมี

เหล็กหล่อโครงเมียมสูงที่ใช้ในการทดลองมีส่วนผสม ดังแสดงในตารางที่ 3.1 เหล็กหล่อได้จาก การหลอมเหล็กพิกที่มีปริมาณซิลิกอนต่ำและธาตุต่างๆ ที่อยู่ในรูปของ ferroalloys ด้วยเตาหลอมไฟฟ้า เนื่องจากน้ำ จำกันนำมาเทในแบบหล่อทรายเพื่อขึ้นรูปทรงกรอบกากขนาดเล็กผ่านศูนย์กลาง 2.5 เซนติเมตร ยาว 30 เซนติเมตร

ตารางที่ 3.1 ส่วนผสมทางเคมีของเหล็กหล่อโครงเมียมสูงที่ใช้ในการทดลอง

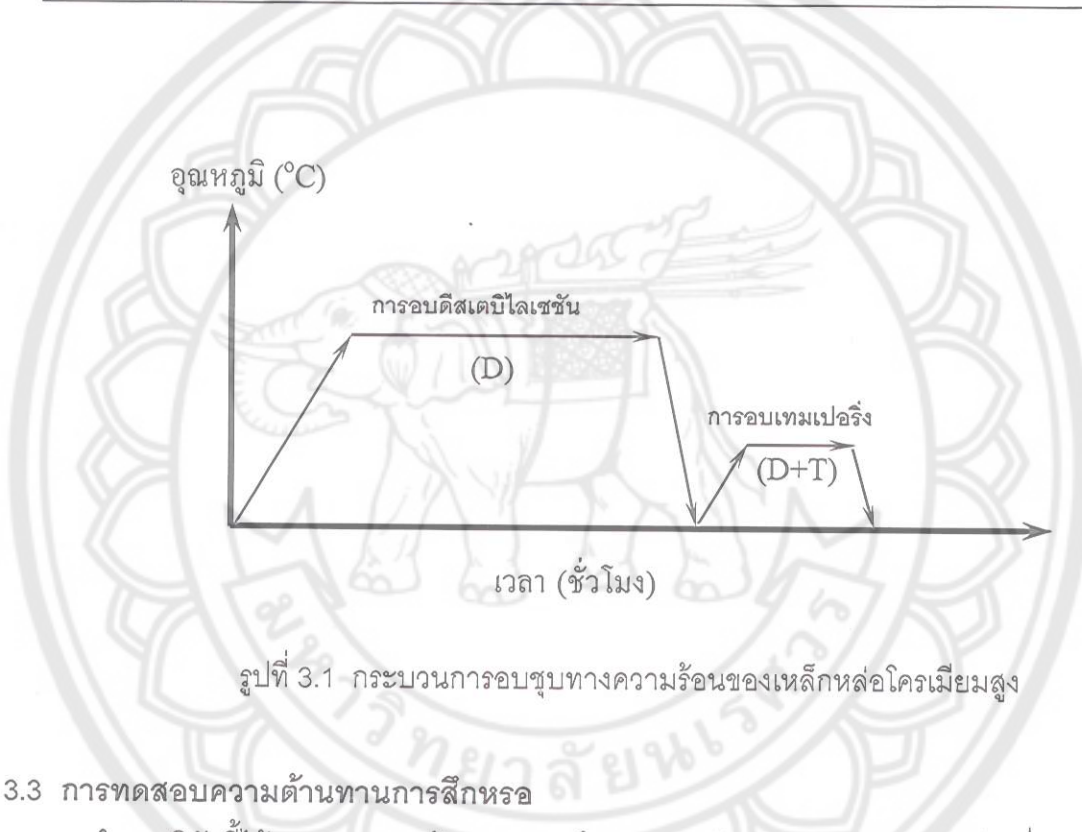
ส่วนผสมทางเคมี (เปอร์เซนต์โดยน้ำหนัก)									
Fe	C	Cr	Si	Mn	S	P	Ni	Cu	Mo
77.69	2.87	17.30	0.41	0.52	0.063	0.024	0.29	0.13	6.70

#### 3.2 การอบชุบทางความร้อน

การอบชุบทางความร้อนของชิ้นงานที่ใช้ในการทดลอง มีทั้งหมด 2 ลักษณะ คือ 1) ชิ้นงานอบดีส เตบีไลเซ็นอย่างเดียว 2) ชิ้นงานอบดีสเตบีไลเซ็นและอบเทมเปอร์ริง ตารางที่ 3.2 แสดงการสภาวะอบ ชุบทางความร้อนของชิ้นงานที่ใช้ในการทดลอง ขั้นตอนการอบชุบทางความร้อนเริ่มจากการนำเหล็กใน สภาพหล่อมาตัดให้สูงประมาณ 1 เซนติเมตร และนำอบดีสเตบีไลเซ็น ที่อุณหภูมิ 1000 องศาเซลเซียส เป็นเวลา 4 ชั่วโมง จากนั้นนำออกจากเตาและปล่อยให้เย็นตัวในอากาศซึ่งจะได้ชิ้นงาน D ส่วนชิ้นงาน D+T ได้จากการนำชิ้นงานที่ผ่านการอบดีสเตบีไลเซ็นแล้วมาทำการอบเทมเปอร์ริงที่อุณหภูมิ 450 องศาเซลเซียส เป็นเวลา 4 ชั่วโมง และปล่อยให้เย็นตัวในอากาศ สำหรับขั้นตอนการอบชุบทางความร้อนของ ชิ้นงาน D และ D+T แสดงในรูปที่ 3.1

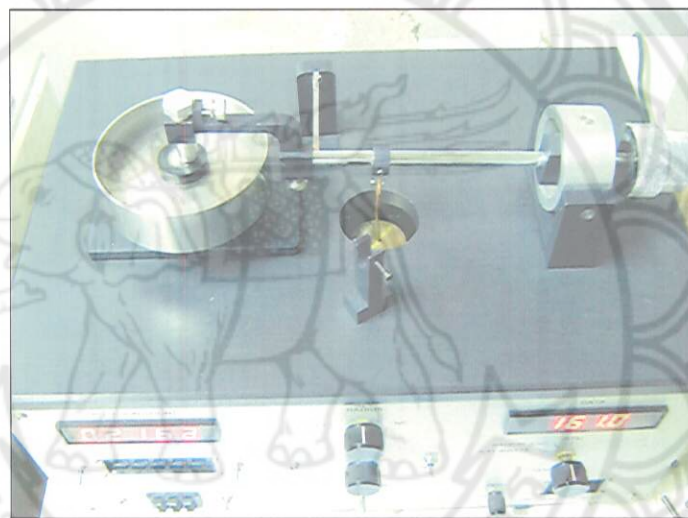
ตารางที่ 3.2 สภาวะการอปชูทางความร้อนของชิ้นงานที่ใช้ในการทดลอง

ชื่องาน	การอบชูปทางความร้อน
AC	ชื่องานสภาพหล่อ
D	อบดีสเตบิไลเซชัน ที่อุณหภูมิ $1000^{\circ}\text{C}$ เป็นเวลา 4 ชั่วโมง และเย็นตัวในอากาศ
D+T	อบดีสเตบิไลเซชัน ที่อุณหภูมิ $1000^{\circ}\text{C}$ เป็นเวลา 4 ชั่วโมง และเย็นตัวในอากาศ และเทมเปอร์จิ้งที่อุณหภูมิ $450^{\circ}\text{C}$ เป็นเวลา 4 ชั่วโมงและเย็นตัวในอากาศ



### 3.3 การทดสอบความต้านทานการสึกหรอ

ในการวิจัยนี้ได้ทดสอบความต้านทานการลีกหรือแบบขัดถู (abrasive) โดยใช้เครื่องทดสอบแบบ pin-on-disc ดังแสดงในรูปที่ 3.2 หลักการทำงานของเครื่องมือ คือ ชิ้นงานทดสอบจะอยู่ในรูปแท่งและให้เคลื่อนที่ความเร็วคงที่ ภายในเวลาที่กำหนดในการทดสอบ โดยมีหัวกดทั้งสิบหน่วยบนชิ้นงานทดสอบและมีตู้มัน้ำหนักแขวนไว้บนคาน โดยชิ้นงานทดสอบจะถูกจัดให้เคลื่อนที่ในลักษณะที่ร่องลึกจะต้องไม่ตั้นทับกัน ในการจัดวางแบบ pin-on-disc ร่องลีกจะต้องขดเป็นเกลียว อัตราการลีกหรือของชิ้นงานวัดได้จากการคำนวณรอยลีกของหัวกดและชิ้นงาน (รายละเอียดดังแสดงในภาคผนวก ก) ตารางที่ 3.3 แสดงสภาวะในการทดสอบ



รูปที่ 3.2 ส่วนประกอบและหลักการทำงานของเครื่องทดสอบการลีกหรือแบบ pin-on-disc

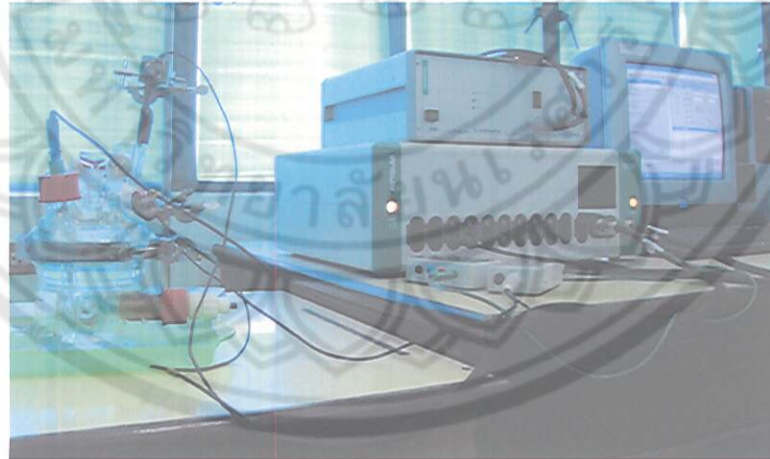
ตารางที่ 3.3 ตัวแปรที่ใช้ในการทดสอบแบบขัดดูดวิธี pin-on-disc

หัวกด	หัวสแตนдар์บีด
ความเร็วจานหมุน	0.753 เมตรต่อวินาที
น้ำหนักกดทับ	250 กรัม
ระยะที่ทดสอบ	500 เมตร

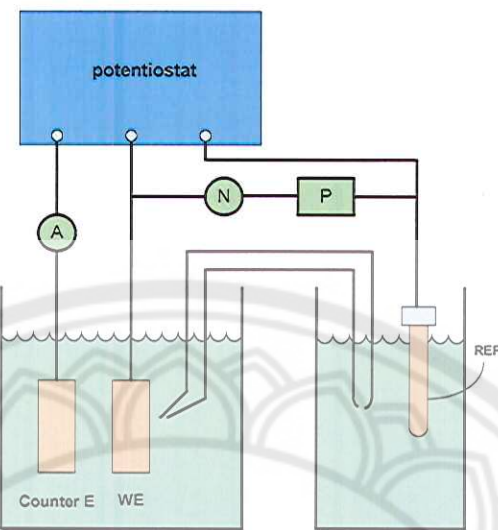
### 3.4 การทดสอบความต้านทานการกัดกร่อน

ความต้านทานการกัดกร่อนของเหล็กหล่อโครงเมียมสูง (electrochemical corrosion study) เพื่อศึกษาผลของการอบซุบทางความร้อนต่อลักษณะเฉพาะของแอนodicไฟล่าไรเซ็น (anodic polarization characteristics) โดยใช้เทคนิคโพเทนทิโอดามิกส์ (potentiodynamic) ซึ่งเป็นเทคนิคที่ใช้ระบบเซลล์ 3 ขั้วในการตรวจสอบ ระบบเซลล์ 3 ขั้ว ประกอบด้วย ขั้วทำงาน (working electrode, WE) หรือชิ้นงานที่ต้องการทดสอบ ขั้วอ้างอิง (reference electrode) และขั้วให้พลังงาน (counter electrode) เพื่อเงี่ยให้เกิดการกัดกร่อน โดยสั่งผ่านอุปกรณ์ที่ควบคุมที่เรียกว่าเครื่อง Potentiostat รูปที่ 3.3 และ 3.4 แสดงอุปกรณ์ที่ใช้ในการทดสอบความต้านทานการกัดกร่อน และส่วนประกอบของเซลล์ชนิด 3 ขั้ว

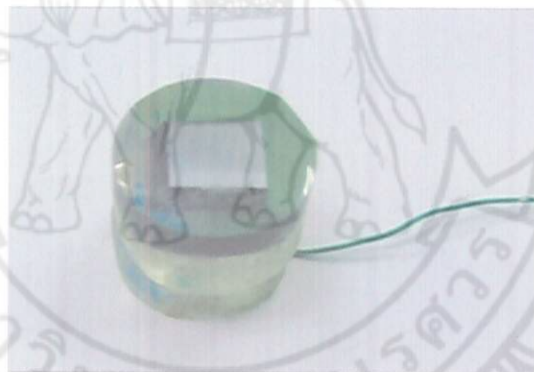
การเติมชิ้นงานเพื่อที่ใช้ในการทดสอบ เริ่มจากการตัดชิ้นงานให้มีขนาด  $1.5 \text{ cm} \times 1.5 \text{ cm}$  แล้วนำสายไฟยาวประมาณ 20 เซนติเมตร มาบัดกรีติดกับบปริเวณด้านหลังของชิ้นงานทดสอบ นำชิ้นงานที่ได้มาลงในแบบหล่อเย็น รอจนกระทั้งแข็งตัว แล้วนำชิ้นงานมาขัดผิวน้ำด้วยกระดาษทราย เบอร์ 180, 320, 500, 1000 และขัดเบาด้วยผงอลูมิเนียมขนาด 1 มิลลิเมตร จากนั้นทำความสะอาดชิ้นงาน ในกรนีที่ชิ้นงานทดสอบมีพื้นที่หน้าตัดไม่เป็นลีฟลี่มอาจใช้เปลี่ยนหัว 3M # 8403 HD 7099-05 มาปิดบปริเวณที่ไม่ต้องการ เพื่อให้การคำนวนพื้นที่ง่ายขึ้น ด้วยอย่างชิ้นงานทดสอบแสดงในรูปที่ 3.5



รูปที่ 3.3 อุปกรณ์ที่ใช้ในการทดสอบความต้านทานการกัดกร่อน



รูปที่ 3.4 ส่วนประกอบของเซลล์ชนิด 3 ขั้ว



รูปที่ 3.5 ตัวอย่างชิ้นงานที่ใช้ทดสอบความด้านท่านการกัดกร่อน

### 3.5 การศึกษาโครงสร้างจุลภาค

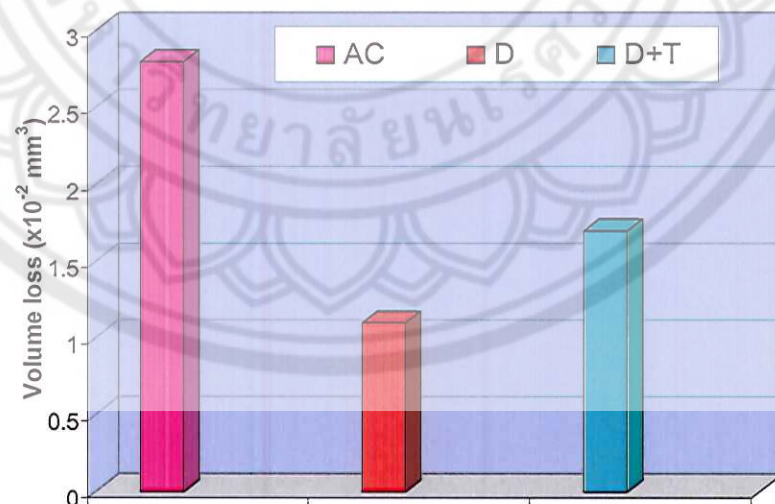
โครงสร้างจุลภาคของชิ้นงานก่อนและหลังทดสอบการลีกหรือและการกัดกร่อน ศึกษาด้วยกล้องจุลทรรศน์แสงและกล้องจุลทรรศน์อิเล็กตรอนแบบส่องภาพ (scanning electron microscope, SEM) เพื่อดูลักษณะและอธิบายกลไกการลีกหรือและการกัดกร่อนของเหล็กหล่อ

## บทที่ 4

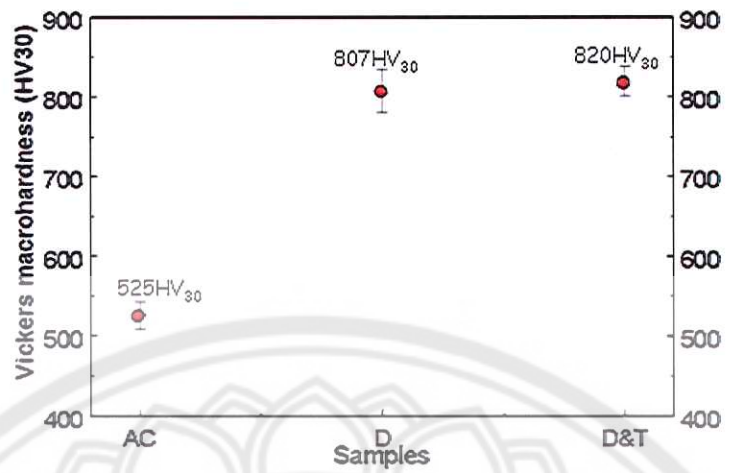
### ผลการทดลองและการอภิปราย

#### 4.1 ความด้านทานการลึกหรอ

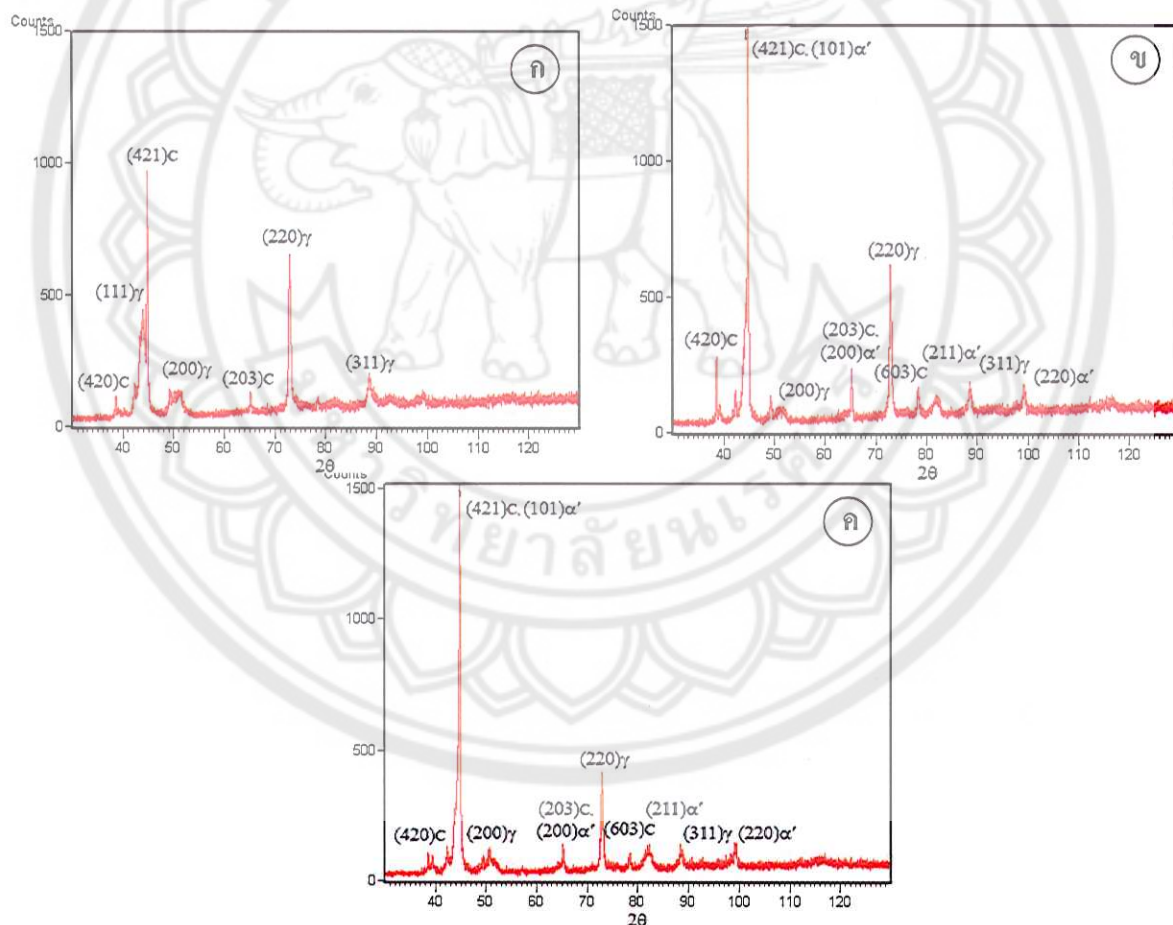
รูปที่ 4.1 แสดงการเปรียบเทียบปริมาณที่หายไปจากการทดสอบการลึกหรอแบบแห้งด้วยวิธี pin-on-disc ของเหล็กหล่อ 18wt%Cr-2.8wt%C-6.7wt%Mo ทั้ง 3 สภาวะ คือ ในสภาพหล่อ หลังการอบดีส เตบีไลเซ็นที่อุณหภูมิ  $1,000^{\circ}\text{C}$  เป็นเวลา 4 ชั่วโมง และเทมเปอร์ที่อุณหภูมิ  $450^{\circ}\text{C}$  เป็นเวลา 4 ชั่วโมง หลังการอบดีสเตบีไลเซ็นท์ พบร่วมกันในสภาพหล่อจะมีการสูญเสียมวลมากที่สุดหรือกล่าวได้ว่ามีการลึกหรอสูงสุด ลักษณะนี้ที่ผ่านการอบดีสเตบีไลเซ็นจะมีอัตราการลึกหรอต่ำกว่าร่วมกันในสภาพหล่อ และหลังการเทมเปอร์ เนื่องจากร่องรอยที่ผ่านการอบดีสเตบีไลเซ็นจะมีโครงสร้างเมทริกซ์เป็นมาเกนไซต์ซึ่งแข็งกว่าอสเทนในที่ในสภาพหล่อ ทำให้สามารถด้านทานการขัดถูของหัวกดทั้งสเทนคาร์บิด นอกจากนี้ผลการทดลองยังสอดคล้องกับค่าความแข็ง ซึ่งพบว่าความแข็งจะมีค่าสูงหลังการอบดีสเตบีไลเซ็น ดังแสดงในรูปที่ 4.2 โดยทั่วไปเมื่อความแข็งมีค่ามาก ความด้านทานการลึกหรอก็จะมีค่าสูงด้วย อย่างไรก็ตามการอบเทมเปอร์หลังดีสเตบีไลเซ็น พบร่วมกับความด้านทานการลึกหรอเพิ่มขึ้น ทั้งที่ความแข็งมีค่าสูงอาจเนื่องมาจาก การลดลงของเฟสออกอสเทนในทึกค้าง (retained austenite) ซึ่งมีสมบัติ work hardening ระหว่างรับแรง ผลให้ความด้านทานการลึกหรอลดลง รูปที่ 4.3 แสดงผลของ XRD ที่แสดงให้เห็นว่าการอบเทมเปอร์หลังดีสเตบีไลเซ็น ทำให้เฟสออกอสเทนในทึกค้างลดลง



รูปที่ 4.1 กราฟเปรียบเทียบความด้านทานการลึกหรอที่ทดสอบแบบ pin-on-disc ของเหล็กหล่อโครงเมียมสูง 18wt%Cr-2.8wt%C-6.7wt%Mo ในสภาพหล่อ (AC), หลังการอบดีสเตบีไลเซ็น (D) และหลังการอบดีสเตบีไลเซ็นและเทมเปอร์ (D+T)



รูปที่ 4.2 ผลของการอบซุบต่อความแข็งของเหล็กหล่อโครงเมียมสูง 18wt%Cr-2.8wt%C-6.7wt%Mo ในสภาพหล่อ (AC), หลังการอบดีสเตบิไลเซชัน (D) และหลังการอบดีสเตบิไลเซชันและเทมเปอร์ริ่ง (D+T)



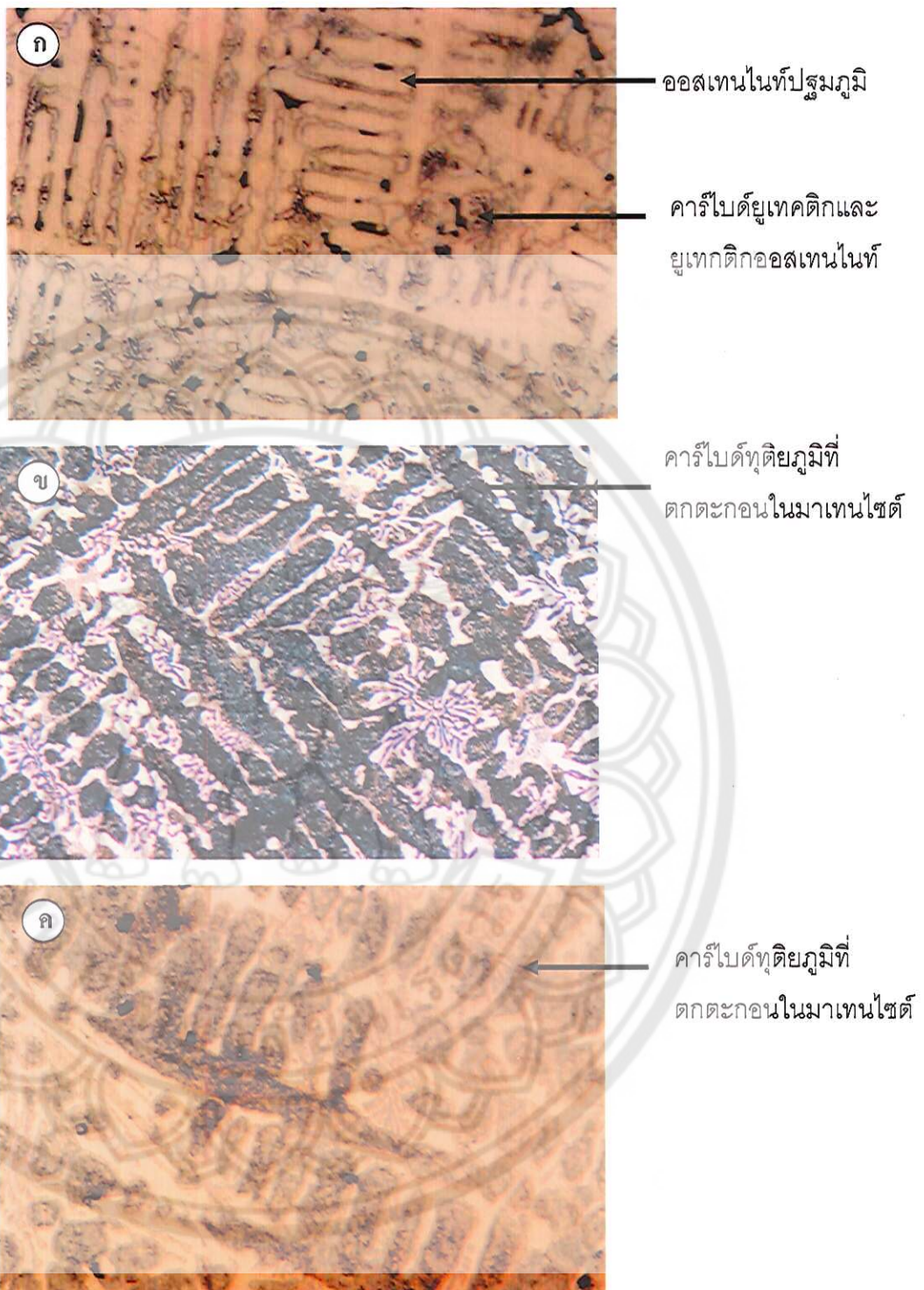
รูปที่ 4.3 แบบรูปการเดี้ยวนะนของรังสีเอ็กซ์ แสดงชนิดของเฟลในชิ้นงาน (ก) สภาพหล่อ (ข) หลังการอบดีสเตบิไลเซชัน (ค) หลังการอบดีสเตบิไลเซชันและเทมเปอร์ริ่ง

#### 4.2 โครงสร้างจุลภาคก่อนและหลังทดสอบการสึกหรอ

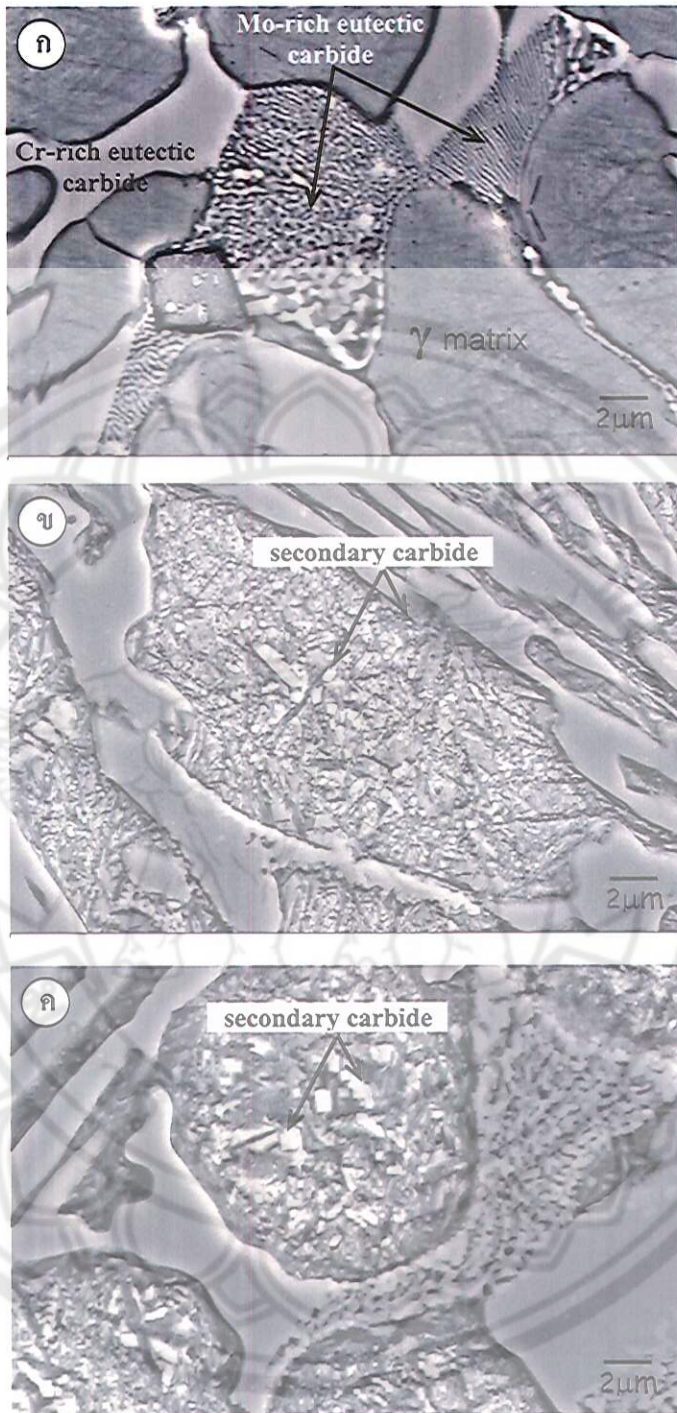
ในรูป 4.4 แสดงโครงสร้างจุลภาคก่อนทดสอบการสึกหรอ จากการศึกษาด้วยกล้องจุลทรรศน์แสดงพบร่องรอยของเหล็กหล้อ 18wt%Cr-3wt%C-6.7wt%Mo ประกอบด้วยเดนไดร์ทของออกซิเจนไนท์ ( $\gamma$ ) ปูร์มภูมิล้อมรอบด้วยโครงสร้างยูเทคติกที่ประกอบด้วยยูเทคติกคาร์บิดและยูเทคติกออกซิเจนไนท์ ดังแสดงในรูป 4.4(ก) หลังการอบดีสเตบิไลเซชันที่อุณหภูมิ  $1,000^{\circ}\text{C}$  เป็นเวลา 4 ชั่วโมง โครงสร้างจุลภาคประกอบด้วยคาร์บิดทุติยภูมิที่แตกต่างกันในเดนไดร์ทของออกซิเจนไนท์ปูร์มภูมิที่เปลี่ยนเป็นมาเทนไไซด์ขณะเย็นตัวในอากาศ ดังรูปที่ 4.4(ข) สำหรับชิ้นงานที่ผ่านการอบดีสเตบิไลเซชันและเทมเปอร์ริงที่อุณหภูมิ  $450^{\circ}\text{C}$  เป็นเวลา 4 ชั่วโมง ภาพจากกล้องจุลทรรศน์แสดงไม่เห็นความแตกต่างของโครงสร้างเมื่อเปรียบเทียบกับชิ้นงานที่ผ่านการอบดีสเตบิไลเซชัน ดังแสดงในรูปที่ 4.4(ค)

เมื่อศึกษาด้วยกล้องจุลทรรศน์อิเล็กตรอนแบบส่องกราดที่กำลังขยายสูงชื่น จะเห็นลักษณะของยูเทคติกคาร์บิดที่ประกอบด้วย 2 ส่วน คือ ยูเทคติกคาร์บิดที่มีโครเมียมสูง (Cr-rich eutectic carbide) และยูเทคติกคาร์บิดที่มีโมลิบดินัมสูง (Mo-rich eutectic carbide) ซึ่งมีลักษณะเป็น lamellar shape ดังรูปที่ 4.5(ก) ซึ่งสอดคล้องกับการวิจัยของ Looper [8] และ Choi [9] ที่พบว่าการเติมโมลิบดินัมในเหล็กหล้อโครเมียมสูงจะทำให้เกิดยูเทคติกคาร์บิด  $\text{M}_7\text{C}_3$  ในลักษณะเป็น lamella ในชั้นตอนสุดท้ายของการแข็งตัวของน้ำโลหะ หลังการอบดีสเตบิไลเซชันและเทมเปอร์ริงจะเห็นการแตกต่างของคาร์บิดทุติยภูมิในมาเทนไไซด์ ดังรูปที่ 4.5(ข) และ 4.5(ค)

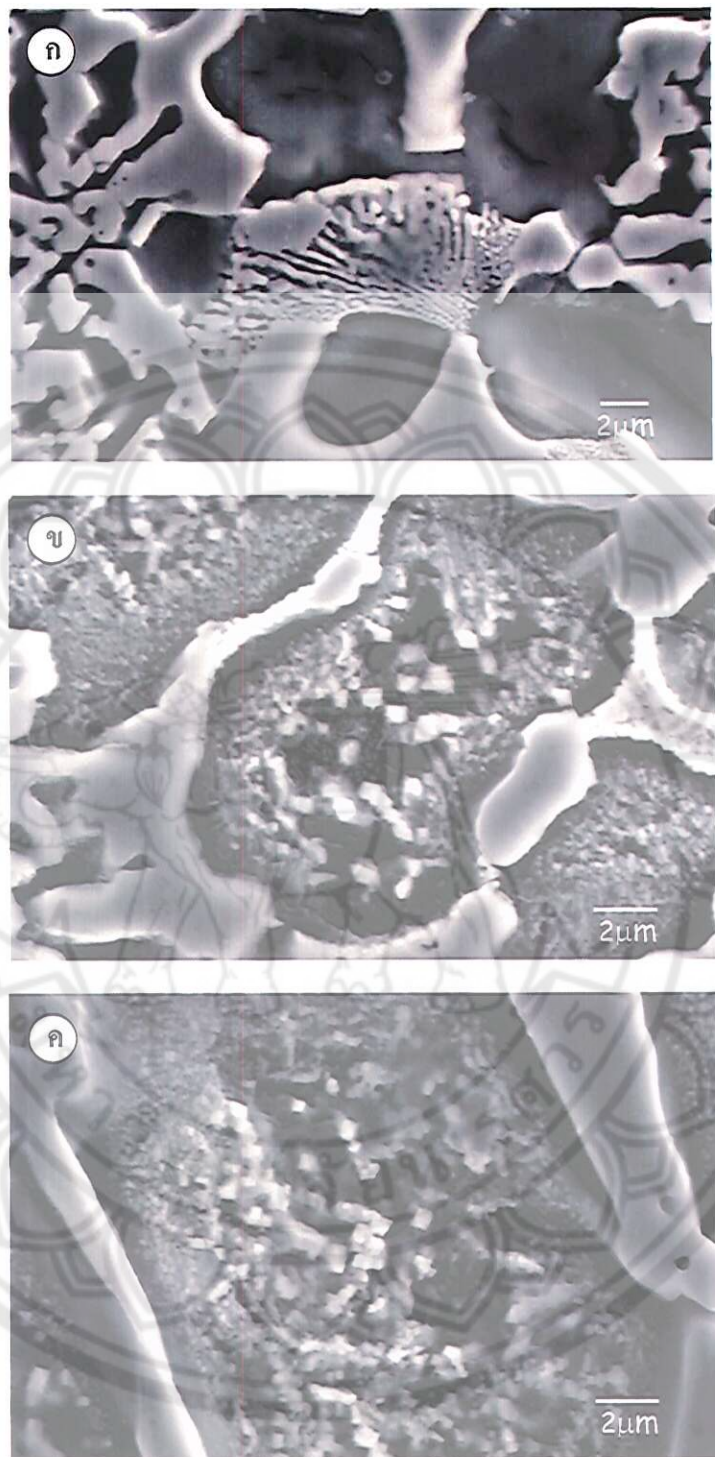
จากการกัดกรดแบบ Deep etching จะเห็นลักษณะวิทยาของคาร์บิดทุติยภูมิซึ่งมีลักษณะเป็นแท่ง เป็นแผ่น และเชื่อมต่อกันเป็นโครงข่าย (net work) ดังแสดงในรูปที่ 4.6 นอกจากนี้ยังพบว่าหลังการอบดีสเตบิไลเซชันและเทมเปอร์ริงจะมีการแตกต่างของคาร์บิดทุติยภูมิบริเวณเดนไดร์ทเพิ่มขึ้น โดยเฉพาะบริเวณใกล้กับยูเทคติกคาร์บิด ดังรูปที่ 4.6(ค)



รูปที่ 4.4 โครงสร้างจุลภาคของเหล็กหล่อ 18wt%Cr-3wt%C-6.7%Mo จากกล้องจุลทรรศน์แสง (ก) ในสภาพหล่อ (ข) หลังการอบดีสเตบิไลเซชัน (ค) หลังการอบดีสเตบิไลเซชันและเทมเปอร์ริ่ง



รูปที่ 4.5 โครงสร้างจุลภาคของเหล็กหล่อ 18wt%Cr-3wt%C-6.7%Mo จากกล้องจุลทรรศน์อิเล็กตรอนแบบส่องภาพ (ก) ในสภาพหล่อ (ข) หลังการอบดีสเตบิไลเซชัน (ค) หลังการอบดีสเตบิไลเซชันและเทมเพอริ่ง



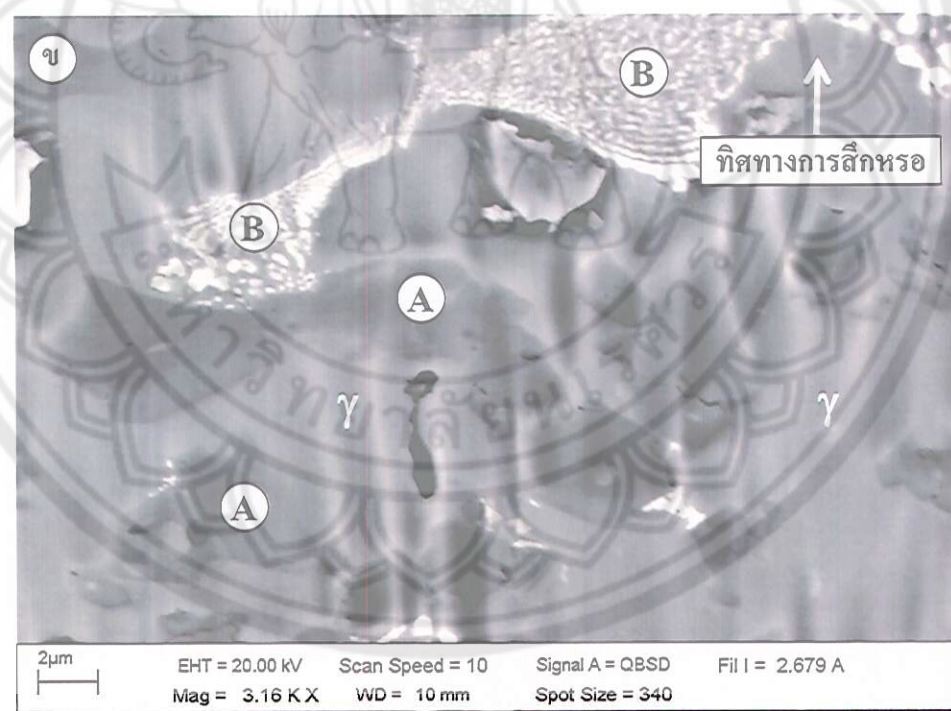
รูปที่ 4.6 โครงสร้างจุลภาคของเหล็กหล่อจากกลั่งจุลทรรศน์อิเล็กตรอนแบบส่องกราด หลังกัดกรด HCl+methanol เป็นเวลา 12 ชั่วโมง (ก) ในสภาพหล่อ (ข) หลังการอบดีสเตบิไลเซชัน (ค) หลังการอบดีสเตบิไลเซชันและเทมเปอริ่ง

ในรูปที่ 4.7 แสดงชิ้นงานหลังทดสอบการสีกหรอด้วยวิธี pin-on-disc จะเห็นได้ว่าลักษณะการสีกหรอมีเป็นร่องวงกลมตามแนวการเคลื่อนที่ของหัวกดทั้งสตีนคาร์บีด เมื่อนำชิ้นงานในสภาพหล่อที่ผ่านการทดสอบการสีกหรومากีษาโครงสร้างด้วยกล้อง SEM ดังแสดงในรูปที่ 4.8 พนว่าการสีกหรอเกิดขึ้นโดยการเกิดรอยขุดของหัวกดทั้งสตีนคาร์บีดบนเมทริกซ์ของอสเทนไนท์ ตามทิศการเคลื่อนที่ของหัวกดทำให้เกิดการสูญเสียของเนื้อโลหะ และยังพบว่าเฟสสูญເຖິກຄາຣີບັດທີ່ມີໂຄຣເມີຍສູງຈະເກີດກາຣເປົ່າຍນູປ ແລະ ດີ່ງໃນທີ່ສັງຈາກກັບທີ່ສັງຈາກກັບທີ່ມີໄລບິນສູງເກີດກາຣແຕກຫັກ (ດຳແນ່ງ A) ນອກຈາກນີ້ຍັງພວຍງຸດທີ່ມີໄລບິນສູງເກີດກາຣແຕກຫັກ (ດຳແນ່ງ B) ທີ່ມີຄວາມເສີຍຫາຍາກກວ່າເຟສູງເຖິກຄາຣີບັດທີ່ມີໂຄຣເມີຍສູງ ທີ່ນີ້ນໍາຈະເກີດຈາກຮູປຮ່າງແລະລັກຊະນະໂຄຣສ້າງຂອງຢູ່ເຖິກຄາຣີບັດທີ່ມີໄລບິນສູງທີ່ມີໂຄຣສ້າງແບບ lamella ແລະມີຂາດເລີກ ທຳໄໝກຮັບແງເລີຍດີໃຫ້ຍອກວ່າຢູ່ເຖິກຄາຣີບັດທີ່ມີໂຄຣເມີຍສູງໜຶ່ງມີຂາດໃຫ້ຢູ່ກວ່າ

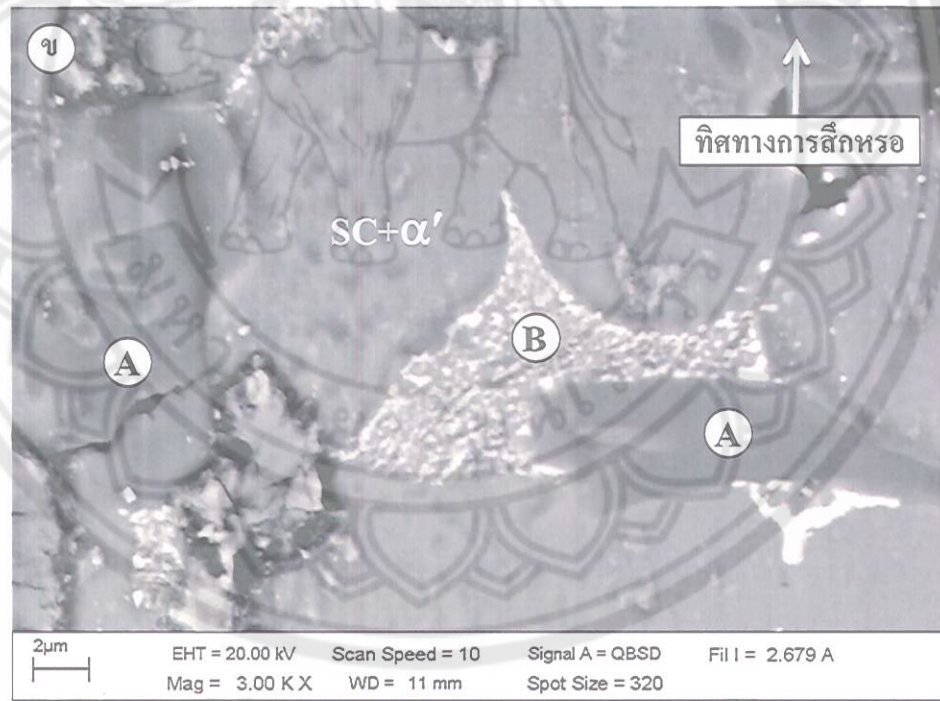
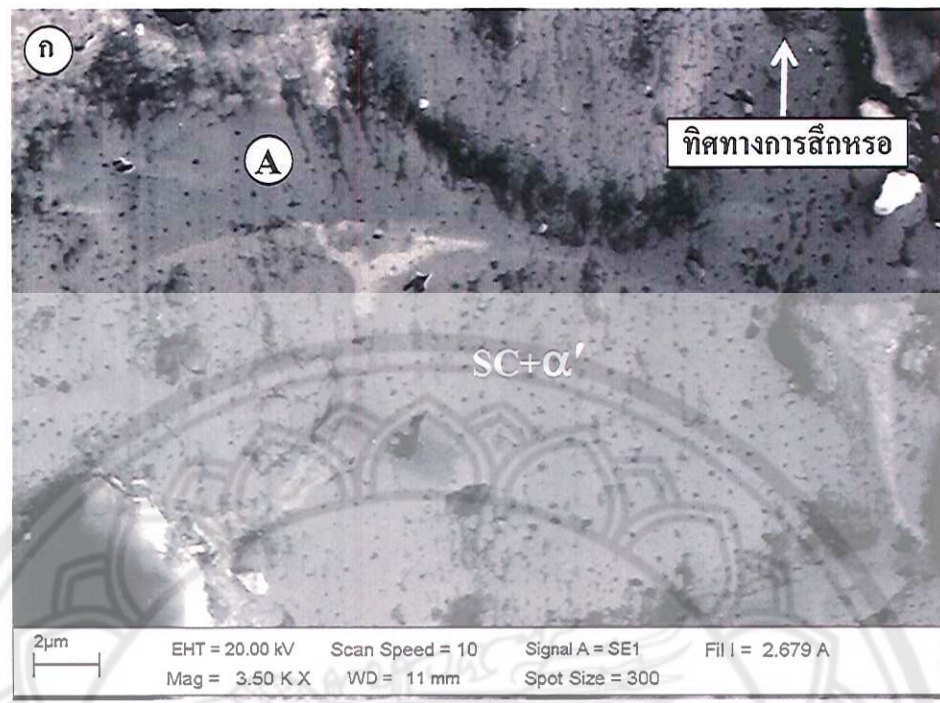
ในรูปที่ 4.9 แสดงโครงสร้างຈຸລປາຄະຫຼາດทดสอบการสีกหรอของชิ้นงานที่ผ่านการอบชູບທາງຄວາມຮ້ອນ ທີ່ກຽນເອັບດີສເຕີບໄລເຫັນຍ່າງເດືອກ ແລະເກມເປົ່ອງໜັງດີສເຕີບໄລເຫັນ ພນວ່າກາຮັກສູງຈະເກີດຂຶ້ນໂດຍກາຣເກີດກາຣແຕກຫັກທີ່ມີຄາຣີບັດທຸດຍກຸມືດກະກອນຍູ່ ສັງລູກໃໝ່ຄາຣີບັດທຸດຍກຸມືຫຼຸດອອກດາມແນວກາຮັກທີ່ມີຄາຣີບັດທຸດຍກຸມືທີ່ມີຄາຣີບັດທຸດຍກຸມືສູງ (ດຳແນ່ງ A) ຈະເກີດກາຣເປົ່າຍນູປແຕ່ເມື່ອພວກກາຣແຕກຮ້າວ ແລະຍັງພວຍງຸດທີ່ມີໄລບິນສູງ (ດຳແນ່ງ B) ມີກາຣແຕກຫັກນໍຍອກວ່າເຊັ້ນງານໃນສປາພລ່ອ ທີ່ເປັນຜລ່ອນມາຈາກກາຮັກສູງທີ່ມີຄາຣີບັດທຸດຍກຸມືຂອງມາເທນໄຊທ໌ ທີ່ມີຄວາມເຂັ້ງສູງແລະສາມາດຮັບແງຂັດຄູຂອງຫຼັກດີໄດ້ມາກກວ່າອອສເທນແນ່ທ່ອອົນ ວິວ່າທັງກາຣແຕກຫັກຂອງຄາຣີບັດທຸດຍກຸມືໃນມ່ທົກຊີ້ວັນມາເທນໄຊທ໌ ທຳໄໝມີຄວາມເຂັ້ງສູງຂຶ້ນ ສ່ວນກຽນຂອງເຊັ້ນງານທີ່ຜ່ານກາຮັກເກມເປົ່ອງໜັງດີສເຕີບໄລເຫັນ ພນວ່າມີກາຮັກສູງມາກກວ່າເຊັ້ນງານທີ່ຜ່ານກາຮັກດີສເຕີບໄລເຫັນ ອາຈນີ້ອນມາຈາກກາຮັດລົງຂອງເຟສອອສເທນໃນທົກດ້າງ (retained austenite) ແລະຄວາມເຂັ້ງຂອງເກມເປົ່ອງມາເທນໄຊທ໌ທີ່ດຳກວ່າມາເທນໄຊທ໌



รูปที่ 4.7 ຂຶ້ນງານຫັ້ງທົດສອບກາຮັກສູງແບບ pin-on-disc



รูปที่ 4.8 โครงสร้างจุลภาคของชิ้นงานในสภาพหล่อหลังทดสอบการสีกหรอ



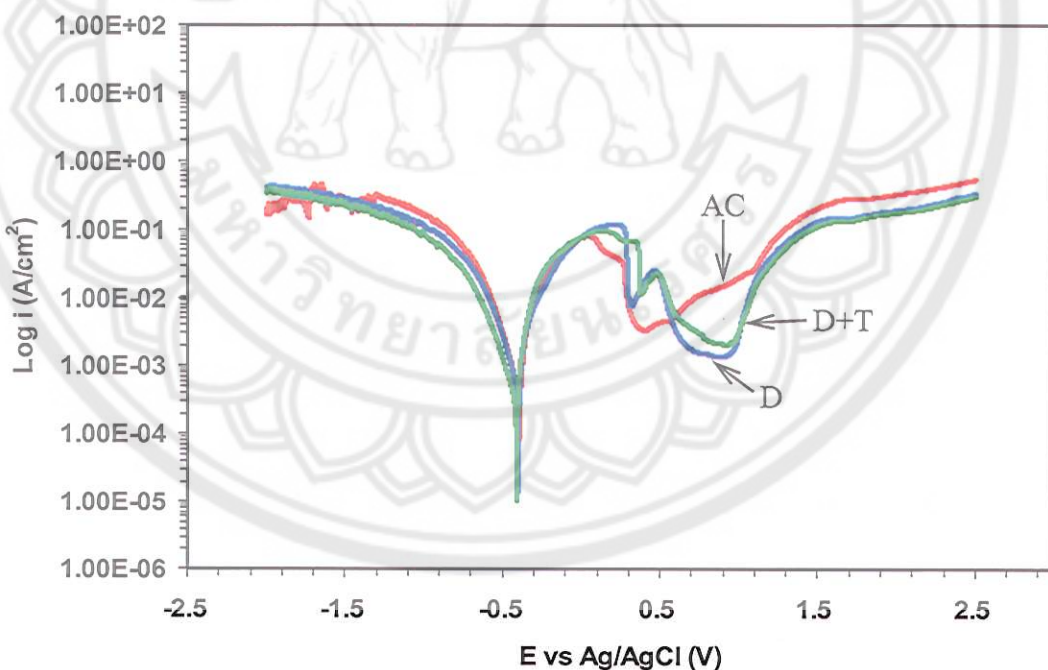
รูปที่ 4.9 โครงสร้างจุลภาคหลังทดสอบการลึกหรอของชิ้นงานที่ผ่านการอบชุบทางความร้อน

### 4.3 ความต้านทานการกัดกร่อน

จากการทดสอบการกัดกร่อนทดสอบโดยเทคนิคโพเทนเชียโนไดนามิกส์ เพื่อศึกษาลักษณะเฉพาะของแอนodicโพลาไรเซชันของเหล็กหล่อ 18wt%Cr-2.8wt%C-6.7wt%Mo ในสภาพหล่อ และหลังการอบชุบที่อุณหภูมิ 1,000°C เป็นเวลา 4 ชั่วโมง และเหมปล่อริงที่อุณหภูมิ 450°C เป็นเวลา 4 ชั่วโมง รูปที่ 4.10 แสดงการเปรียบเทียบเส้นกราฟโพลาไรเซชันที่ได้จากการทดลอง พบว่า

1. เหล็กหล่อในสภาพหล่อ มีกระแสคงที่ ( $I_{pass}$ ) สูงที่สุด
2. เหล็กหล่อหลังการอบดีสเตบิไลเซชัน มีกระแสคงที่ ( $I_{pass}$ ) และกระแสวิกฤต ( $I_{crit}$ ) ต่ำที่สุด
3. เหล็กหล่อหลังการอบดีสเตบิไลเซชัน มีช่วงของการคงทนของฟิล์ม (passive film) กว้างที่สุด

จากราฟจะเห็นว่าเหล็กหล่อที่ผ่านการอบดีสเตบิไลเซชัน จะมีความต้านทานการกัดกร่อนดีกว่าเหล็กหล่อที่อบเมปล่อริงและในสภาพหล่อ ซึ่งสังเกตได้จากการมีกระแสคงที่ในช่วงของการเกิดฟิล์มต่ำที่สุด มีช่วงของการคงทนของฟิล์มกว้างที่สุด และการเลี้ยงหายของฟิล์มนิ่งในช่วง transpassive เกิดขึ้นช้าที่สุด ในขณะที่เหล็กหล่อในสภาพหล่อจะมีความต้านทานการกัดกร่อนต่ำที่สุด โดยมีช่วงของการเกิดฟิล์มที่แคบ และฟิล์มยังถูกทำลายอย่างรวดเร็ว



รูปที่ 4.10 การเปรียบเทียบเส้นโค้งโพลาไรเซชันของเหล็กหล่อ 18wt%Cr-2.8wt%C-6.7wt%Mo ในสภาพหล่อ (AC), หลังการอบดีสเตบิไลเซชัน (D) และหลังการอบดีสเตบิไลเซชันและเหมปล่อริง (D+T) ในสารละลายน้ำกรดซัลฟูริกเข้มข้น 0.5 มоляร์

#### 4.4 โครงสร้างจุลภาคหลังทดสอบการกัดกร่อน

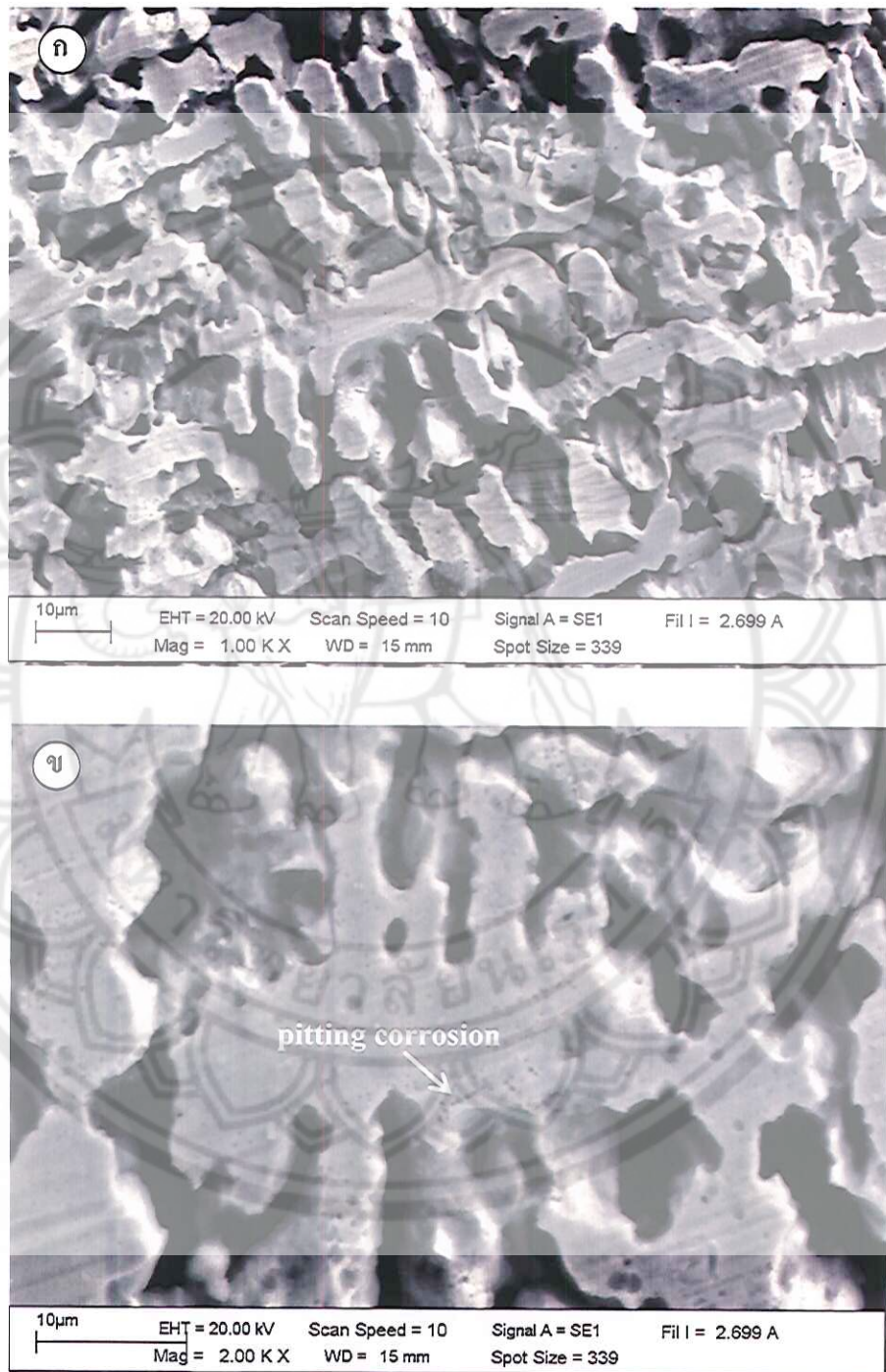
ความเสียหายที่เกิดขึ้นจากการกัดกร่อน ได้ศึกษาด้วยกล้อง SEM รูปที่ 4.11 และ 4.12 แสดงลักษณะผิวน้ำของชิ้นงานในสภาพหล่อและหลังการครอบชุมทางความร้อน ภายหลังทดสอบการกัดกร่อน ในสารละลายกรดซัลฟูริก พบร่วมกับชิ้นงานทดสอบในสภาพหล่อ ลักษณะการกัดกร่อนจะเกิดขึ้นรอบๆ เกรน ออสเทนในท่อปูมญี่ปุ่น และยังพบว่ามีการกัดกร่อนแบบหลุม (Pitting corrosion) ภายในเกรนของออสเทน ในท่อปูมญี่ปุ่นอีกด้วย ดังรูปที่ 4.11(ช) อย่างไรก็ตามไม่พบฟิล์มป้องกัน (passive film) ปกคลุมผิวชิ้นงาน

ส่วนเหล็กหล่อหลังการครอบชุม ทั้ง 2 กรณี พบร่วมกับการกัดกร่อนน้อยกว่าชิ้นงานในสภาพหล่อ ดังแสดงในรูปที่ 4.12 ซึ่งการกัดกร่อนมีลักษณะเช่นเดียวกับชิ้นงานในสภาพหล่อ คือ การกัดกร่อนจะเกิดขึ้นรอบๆ เมทริกซ์ของมาเทนไชร์ และยังเกิดการกัดกร่อนบริเวณเมทริกซ์รอบๆ คาร์บิดทุติยภูมิที่ตัดตะกอนในมาเทนไชร์ ทำให้คาร์บิดทุติยภูมิหลุดออก นอกจากนี้ยังพบว่าชิ้นงานหลังการครอบดีสเตบิไลเซชันมีฟิล์มปกคลุมผิวน้ำของชิ้นงาน ดังรูปที่ 4.12(ก) เมื่อเปรียบเทียบลักษณะของฟิล์มที่เกิดขึ้นกับชิ้นงานหลังการครอบเหมือนเช่นกัน จะเห็นว่าฟิล์มป้องกันของชิ้นงานหลังการครอบดีสเตบิไลเซชันมีความคงทนมากกว่าชิ้นงานที่ผ่านการครอบเหมือนเช่นกัน ดังรูป 4.12(ช) ซึ่งจะเห็นว่าฟิล์มถูกทำลายไปเป็นส่วนใหญ่ มีบางบริเวณเท่านั้นที่ยังคงมีฟิล์มปกคลุมอยู่ รูปที่ 4.13 แสดงฟิล์มป้องกันและการวิเคราะห์ส่วนผสมทางเคมีด้วย EDS ซึ่งพบร่วมกับฟิล์มที่เกิดขึ้นเป็นฟิล์มออกไซด์ของธาตุเหล็ก โครงเมียม โมลิบดีนัม และคาร์บอน

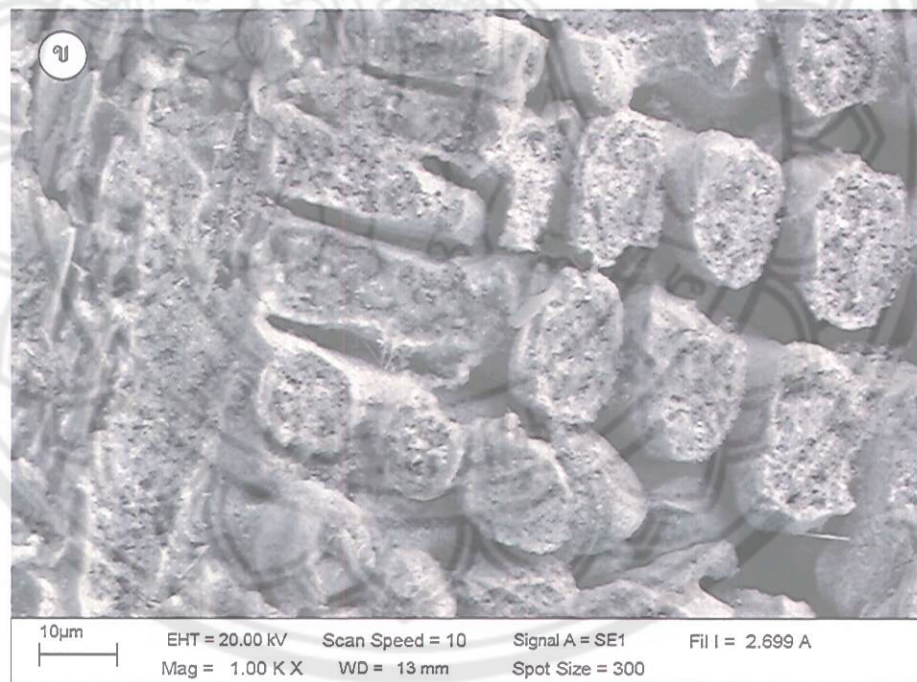
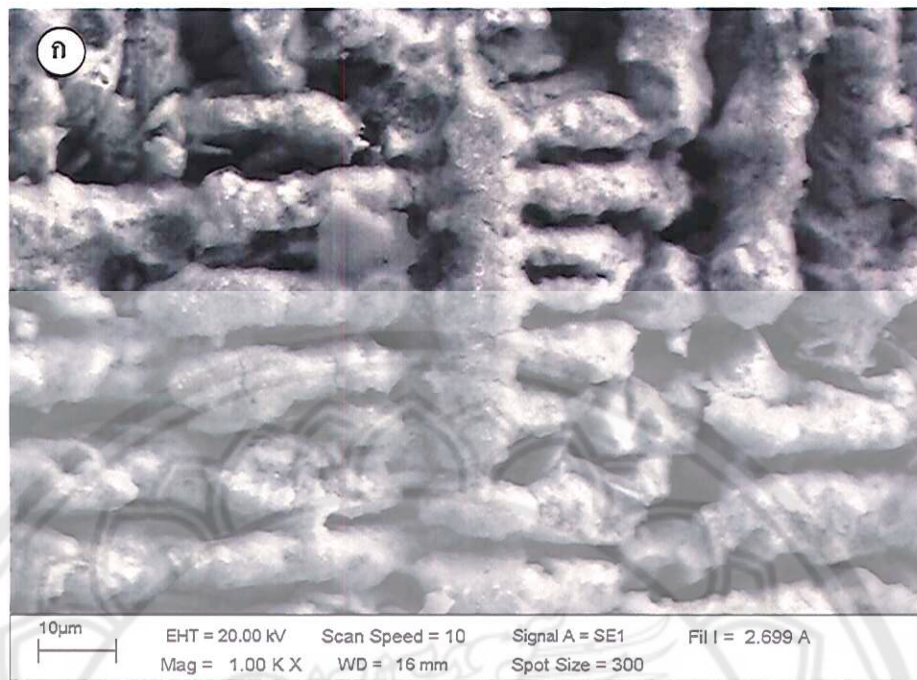
รูปที่ 4.14 แสดงกลไกการกัดกร่อนของเหล็กหล่อในสภาพหล่อ โดยการกัดกร่อนจะเริ่มจากบริเวณของเมทริกซ์ของออสเทนในท่ออยู่รอบๆ เทกติกคาร์บิด เนื่องจากบริเวณดังกล่าวมีปริมาณโครงเมียมต่ำทำให้บริเวณขอบเกรนขาดโครงเมียมเพื่อใช้ในการสร้างฟิล์ม ส่งผลให้ความต้านทานการกัดกร่อนลดลงและเมื่อความต่างศักย์มากขึ้นออสเทนในท่ออยู่รอบๆ เทกติกคาร์บิดจะเกิดการกัดกร่อนมากขึ้น และในที่สุดก็จะหลุดออกไป ทำให้หยอกเทกติกคาร์บิดที่ไม่มีเมทริกซ์ยึดหลุดออกไปด้วย

รูปที่ 4.15 แสดงกลไกการกัดกร่อนของเหล็กหล่อหลังการครอบดีสเตบิไลเซชัน การกัดกร่อนจะเกิดขึ้นบริเวณมาเทนไชร์เมทริกซ์ที่อยู่รอบๆ เทกติกคาร์บิด เช่นเดียวกับกรณีในสภาพหล่อ แต่การกัดกร่อนจะมีความรุนแรงน้อยกว่า เนื่องจากในระหว่างกระบวนการครอบดีสเตบิไลเซชันจะทำให้โครงเมียมที่มีมากในออสเทนในท่อปูมญี่ปุ่นแพร่ออกมายังบริเวณขอบเกรนที่อยู่รอบๆ เทกติกคาร์บิด ทำให้บริเวณนี้มีโครงเมียมมากขึ้นและสามารถเกิดฟิล์มป้องกันได้ดีขึ้น นอกจากนี้ยังพบว่าจะเกิดการกัดกร่อนบริเวณมาเทนไชร์ที่อยู่รอบๆ คาร์บิดทุติยภูมิ โดยจะเกิดการกัดกร่อนแบบทั่วผิวน้ำ (uniform corrosion) และเมื่อเกิดการกัดกร่อนของมาเทนไชร์มากขึ้น ทำให้คาร์บิดทุติยภูมิเกิดการหลุดออกเนื่องจากไม่มีเฟสที่จะช่วยยึดสำหรับกลไกการกัดกร่อนของเหล็กหล่อหลังการครอบเหมือนเช่นกัน ทำให้การครอบดีสเตบิไลเซชัน แต่จะมีการกัดกร่อนมากกว่า เนื่องจากในเมทริกซ์เหมือนเช่นที่จะมีปริมาณโครงเมียมต่ำ

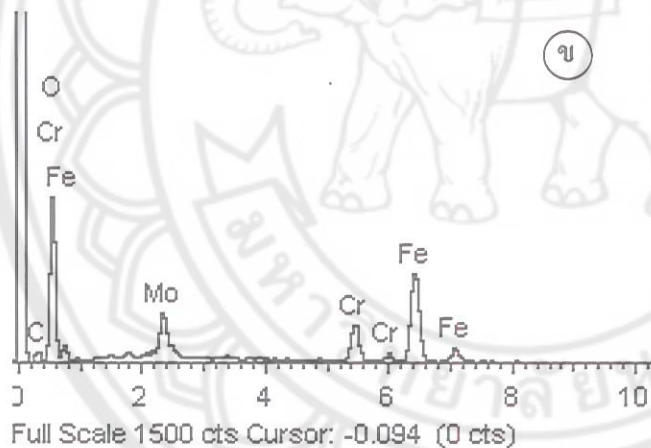
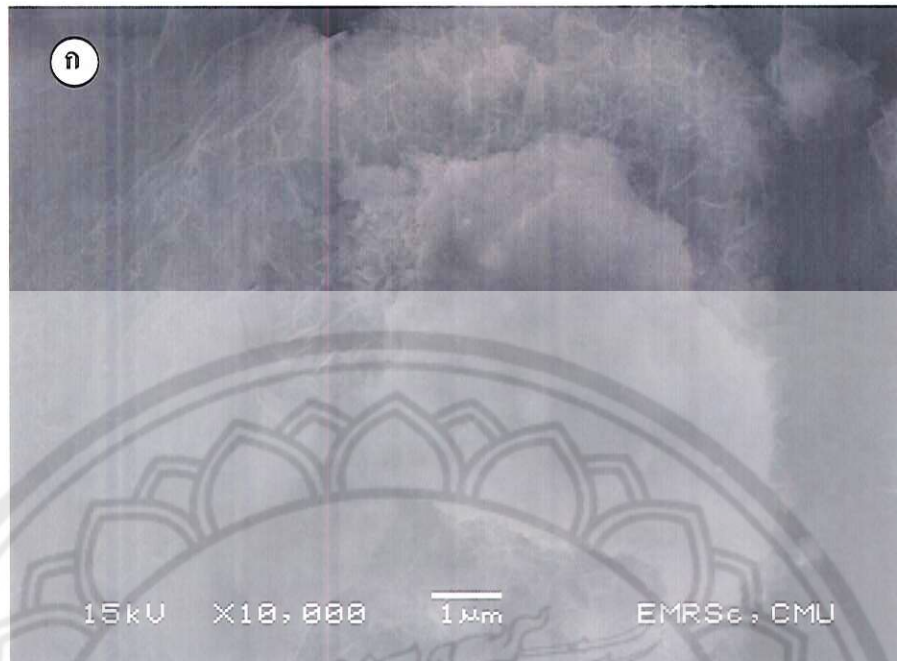
เนื่องจากในระหว่างการอบเทมเปอร์ โครงเมียมจะรวมตัวกับธาตุอื่นเป็นคาร์บิดทึบญูมิ ทำให้ปริมาณของ โครงเมียมในเมทริกซ์ลดลง ทำให้เกิดพิล์มได้น้อย



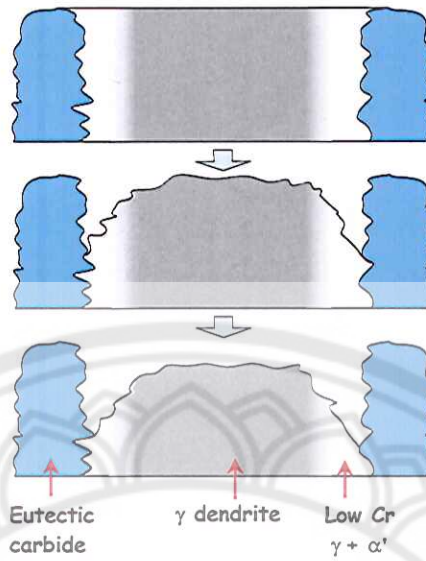
รูปที่ 4.11 โครงสร้างหลังทดสอบการกัดกร่อนของเหล็กหล่อ 18wt%Cr-2.8wt%C-6.7wt%Mo (g) ใน สภาพหล่อ (x) ลักษณะการกัดกร่อนแบบรูเข็มบนผิวน้ำของอสเทนในท่อปูมญูมิ



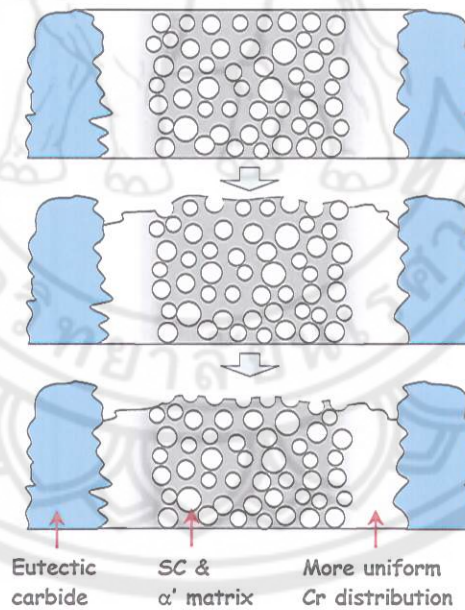
รูปที่ 4.12 โครงสร้างหลังทดสอบการกัดกร่อนของเหล็กหล่อ 18wt%Cr-2.8wt%C-6.7wt%Mo (ก) หลังการอบดีสเตบิไลเซชัน (ข) หลังการอบดีสเตบิไลเซชันและเทมเปอร์ริ่ง



รูปที่ 4.13 (ก) พิล์มป้องกันบนผิวหน้าของชิ้นงานหลังการอบดีสเตบิไลเซชัน (ข) EDS spectrum และ ส่วนผสมทางเคมีของพิล์มออกไซด์



รูปที่ 4.14 ภาพจำลองแสดงกลไกการกัดกร่อนในสภาพหล่อของเหล็กหล่อ 18wt%Cr-2.8wt%C-6.7wt%Mo



รูปที่ 4.15 ภาพจำลองแสดงกลไกการกัดกร่อนหลังการอบซุบทางความร้อนของเหล็กหล่อ 18wt%Cr-2.8wt%C-6.7wt%Mo

## บทที่ 5

### สรุปผลการทดลองและข้อเสนอแนะ

#### 5.1 สรุปผลการทดลอง

- การอบดีสเตบิไลเซชันของเหล็กหล่อ 18wt%Cr-2.8wt%C-6.7wt%Mo ทำให้ความต้านทานการล็อกหรอสูงขึ้น เนื่องจากการลดระดับอนของคาร์บิดทุติยภูมิในเมทริกซ์ของมาเทนไชร์
- การอบเทมเปอร์링หลังการอบดีสเตบิไลเซชัน ทำให้ความต้านทานการล็อกหรอดลง เนื่องจาก การลดลงของอัตราสเกนในห้องค้าง และความแข็งของเทมเปอร์มาเทนไชร์มีค่าต่ำ
- การล็อกหรอเกิดจากการเกิดรอยชุดบนเมทริกซ์ การผิดรูปและรอยร้าวของเฟสญูเทกติกคาร์บิด
- การอบดีสเตบิไลเซชันจะเพิ่มความต้านทานการกัดกร่อนให้สูงขึ้น เนื่องจากผลกระทบจากการกระจายตัวของโครเมียมในเมทริกซ์มากขึ้น ทำให้เกิดพลาสซีพพิล์มได้ขึ้น
- กลไกการกัดกร่อนเนื่องจากการสูญเสียเนื้อโลหะของเมทริกซ์ที่อยู่รอบๆญูเทกติกคาร์บิดและ คาร์บิดทุติยภูมิ ทำให้ญูเทกติกคาร์บิดและคาร์บิดทุติยภูมิที่ไม่มีเมทริกซ์ยึดหลุดออกไปได้วย

#### 5.2 ข้อเสนอแนะ

- ควรมีการศึกษาการล็อกหรอและการกัดกร่อนด้วยกล้องจุลทรรศน์อิเล็กตรอนแบบสองฝ่าย
- ควรมีการทดสอบห้องในสภาวะ例外ทิพ พลาสซีพ และทรายพลาสซีพ เพื่อขอรับเอกสารประกอบการ กัดกร่อน
- ควรมีการทดสอบชิ้นงานและนำไปทดสอบในสภาวะการใช้งานจริง

## เอกสารอ้างอิง

- [1] Pearce, J.T.H. และ บัญชา ชนบุญสมบัติ (2542) เทคโนโลยีและโลหะวิทยาของเหล็กหล่อผสม, ศูนย์เทคโนโลยีโลหะและวัสดุแห่งชาติ ,พิมพ์ครั้งที่ 1, หน้า 10 - 14.
- [2] มันส์ สถิติจินดา (2527) เหล็กหล่อ ,วิศวกรรมสถานแห่งประเทศไทย ,พิมพ์ครั้งที่ 1.
- [3] Wiengmoon, A., (2005) "Microstructures of carbides in high chromium cast irons", Ph.D. Thesis. Chiang Mai University, Thailand.
- [4] Pearce, J.T.H., (1982) "Wear of abrasion resisting materials", Ph.D thesis. Aston University, Birmingham, England.
- [5] Pearce, J. T. H. and Elwell, D. W. L., (1986) "Duplex nature of eutectic carbides in heat treated 30% chromium cast iron", *J. Mat. Sci Lett.*, 5, 1063-1064.
- [6] Pearce, J.T.H., (1999) "High chromium irons to resist wear", *Proceedings of the Sixth Asian Foundry Congress*, Jan 23-26, Calcutta India, 120-134.
- [7] Tabrett, C.P., Sare, I.R. and Ghomashchi, M. R., (1996) "Microstructure-property relationships in high chromium white iron alloys", *Int. Mater. Rev.*, 41, 59-82.
- [8] Durman, R.W. and Elwell, D.W.J., (1985) "Morphology of eutectic carbides in high chromium white irons", *The British Foundryman*, 78, 371-375.
- [9] Thorpe, W.R. and Chicco, B., (1985) "The Fe-rich corner of the metastable C-Cr-Fe liquidus surface", *Metall. Trans. A*, 16A, 1541-1549.
- [10] Chicco, B. and Thorpe, W.R., (1993) "On the solidification of pure C-Cr-Fe alloys", *Cast Metals*, 5, 203-211.
- [11] Laird,G .Gundlach „R .and Rohrig „K , (2000) "Resistant Cast Iron-Abrasion Handbook", *American Foundry Society*, USA, pp.222.
- [12] Wu, H.Q., Sasaguri, N., Matsubara, Y. and Hashimoto, M., (1996) "Solidification of multi-alloyed white cast iron: Type and morphology of carbides", *AFS Trans*, 104, 103-108.
- [13] Pearce, J.T.H., (1984) "Structure and wear performance of abrasion resistant chromium white cast irons", *AFS Trans.*, 92, 599-622.

- [14] Powell, G., (2002) "Improved wear-resistant high-alloyed white irons-A historical perspective", *International congress on abrasion wear resistance alloyed white cast iron for rolling and pulverizing mills*, August 16-20, Fukuoka, Japan, 1-10.
- [15] Kibble K.A.and Pearce J .T..H, (1995) "An examination of the effects of annealing heat treatment on secondary carbide formation in 25%Cr high chromium irons", *sCast Metal*,8 , 123-127.
- [16] Powell, G.L.F. and Laird II, G. (1992) "Structure, nucleation, growth and morphology of secondary carbides in high chromium and Cr-Ni white cast irons", *J. Mat. Sci.*, 27, 29-35.
- [17] Kibble, K.A., (1987) "Influence of heat treatment on the microstructure of high chromium cast irons", M.Sc. thesis. The School of Engineering, The Polytechnic, Wolverhampton, England.
- [18] Pearce,J .T..H, (1985) "Abrasive wear behaviour of alloy cast irons", *Br. Foundryman*; 78, 13-23.
- [19] Pearce J.T.H.,Perry B . andBlackwell P ..L, (1989) "Potentiokinetic study of the aqueous corrosion behaviour of high chromium cast irons", *International Colloquium on Cast Irons*, November, National School of Mines, France, Bulletin du Cercle d'Etudes des Metaux ; 15: 25/1-13.

## ภาคผนวก ก

### การทดสอบการสึกหรอแบบ Pin-on-Disc

#### วิธีการทดสอบ มีขั้นตอนดังนี้

1. วัดขนาดของหัวกด (pin) ของเครื่องทดสอบการสึกหรอ
2. นำชิ้นงานมาทำการวัดการสึกหรอ โดยกำหนดตัวแปรต่างๆ ดังต่อไปนี้

ความเร็วจานหมุน	0.753 เมตรต่อวินาที
น้ำหนักกดทับ (load)	250 กรัม
ระยะที่ทดสอบ	500 เมตร

3. สร้างกราฟความสัมพันธ์ระหว่างกับค่าสัมประสิทธิ์ความเสียดทาน
4. วัดขนาดเส้นผ่านศูนย์กลางรอยลึกบนหัวกด โดยใช้กล้องจุลทรรศน์แสง
5. วัดขนาดเส้นผ่านศูนย์กลางรอยลึกบนชิ้นงานทดสอบ โดยใช้กล้องจุลทรรศน์แสง
6. คำนวณหาอัตราการสึกหรอของหัวกด จากสมการ

$$pin\ volume\ loss = \frac{\pi(d_{ws})^4}{64r_p}$$

เมื่อ  $pin\ volume\ loss$  คือ ปริมาตรที่สูญเสียของหัวกด ( $\text{มม.}^3$ )

$d_{ws}$  คือ ขนาดเส้นผ่านศูนย์กลางรอยลึกบนหัวกด ( $\text{มม.}$ )

$r_p$  คือ รัศมีของหัวกด ( $\text{มม.}$ )

7. คำนวณหาอัตราการสึกหรอของชิ้นงานทดสอบ จากสมการ

$$disc\ volume\ loss = \frac{\pi(r_t)(w_t)^3}{6r_p}$$

เมื่อ  $disc\ volume\ loss$  คือ ปริมาตรที่สูญเสียของหัวกด ( $\text{มม.}^3$ )

$w_t$  คือ ความกว้างของรอยลึกบนชิ้นงานทดสอบ ( $\text{มม.}$ )

$r_t$  คือ รัศมีของรอยลึกบนชิ้นงานทดสอบ ( $\text{มม.}$ )

$r_p$  คือ รัศมีของหัวกด ( $\text{มม.}$ )